



مقاله پژوهشی

مدل‌سازی زمین‌شناسی-اکتشافی کانسار مس نارباغی شمالی ساوه و تخمین ذخیره کانسار با استفاده از رویکردهای بلوک‌بندی، مدل شبکه دوبعدی و انباشتگی دوبعدی

رضا احمدی*

گروه مهندسی معدن، دانشکده مهندسی علوم زمین، دانشگاه صنعتی اراک، اراک، ایران

دریافت مقاله: ۱۳۹۸/۱۱/۱۰، پذیرش: ۱۳۹۹/۰۶/۱۷

چکیده

به دلیل پیچیدگی‌های ذاتی زمین‌شناسی، محدودیت اطلاعات اکتشافی در دسترس، زمان بر و مشکل بودن محاسبات مربوطه، مدل‌سازی داده‌های اکتشافی کانسارات فلزی کم‌عیار با استفاده از نرم‌افزارهای تخصصی قوی گریزناپذیر است. در این پژوهش، مدل‌سازی ریاضی سه‌بعدی زمین‌شناسی، عیار سنجی و ذخیره کانسار مس نارباغی شمالی ساوه با استفاده از اطلاعات چاهنگار و عیار سنجی تعداد ۲۳ حلقه گمانه اکتشافی با مجموع متراث حفاری ۲۴۲۵ متر با استفاده از قابلیت‌های نرم‌افزار RockWorks صورت گرفت. برای این منظور، واریوگرافی و تجزیه و تحلیل ساختار فضایی کانسار با استفاده از نرم‌افزار SGeMS انجام شد که بر اساس آن کانسار ناهمسان‌گرد بوده و شعاع‌های ییضوی تجسس (شعاع تأثیر در جهت‌های مختلف) برابر با ۱۳۰، ۵۰ و ۴۳۳ متر به دست آمد. مدل‌سازی داده‌های عیار سنجی و تخمین ذخیره کانسار با استفاده از روش‌های مختلف موجود در نرم‌افزار همانند بلوک‌بندی از طریق منوی I-Data، تخمین ذخیره به روش مدل شبکه دوبعدی و انباشتگی دوبعدی برای شش ردۀ عیار حد ۳۰۰۰، ۲۵۰۰، ۲۰۰۰، ۱۵۰۰، ۱۰۰۰ و ۳۵۰۰ گرم در تن نشان می‌دهد که در برخی موارد، نتایج روش‌های مختلف با یکدیگر بسیار متفاوت است. به طور کلی، برای تخمین ذخیره منطقه مورد بررسی، دقت روش بلوک‌بندی از طریق منوی I-Data و روش انباشتگی دوبعدی از دیگر روش‌های موجود در نرم‌افزار بیشتر است. در مجموع، با متوسط‌گیری از میزان ذخیره و عیار متوسط محسنه شده تو سط روش‌های تخمین ذخیره موردن استفاده، ذخیره کلی کانسار به ازای عیار حد ۰/۱ در صد (۱۰۰۰ گرم در تن) حدود ۵۰۰۰۰۰ تن با عیار متوسط ۰/۸ درصد برآورد شد. نتایج این پژوهش به ویژه نحوه انتخاب مؤلفه‌های گوناگون در بخش‌های مختلف نرم‌افزار، برای مدل‌سازی دیگر کانسارات فلزی مشابه با کانسار مورد بررسی در کمان ماقمایی ارومیه-دختر، قابل تعمیم است.

واژه‌های کلیدی: کانسار مس نارباغی شمالی ساوه، مدل‌سازی زمین‌شناسی-اکتشافی، واریوگرافی، تخمین ذخیره، بلوک‌بندی، مدل شبکه RockWorks، انباشتگی دوبعدی، دوبعدی، ارزیابی

مقدمه

معمولًاً وقتی سخن از اکتشاف یک کانسار به میان می‌آید، منظور شناسایی کلیه ویژگی‌های آن کانسار است و هنگامی که از مدل‌سازی آن کانسار بحث می‌شود در حقیقت ارائه مدل ویژگی‌های کانسار مدنظر است. مدل‌سازی کانسارها شامل انواع توصیفی-ژنتیکی، هندسی، مدل‌سازی-شیوه‌سازی زمین‌آماری، اقتصادی و ریاضی (کمی) است (Erickson, 1992). بدون شک مدل‌سازی به‌ویژه مدل‌سازی کمی شکل، اندازه و بعد، تعیین جهت یافتنگی و نحوه گسترش فضایی یک ذخیره معدنی از مهم‌ترین و مشکل‌ترین مراحل عملیات اکتشافی است. مدل‌سازی کمی کانسارها به شناخت کامل تر توده‌های کانساری، ساختار آنها، نحوه جهت یافتنگی و گسترش فضایی آنها و در نتیجه تخمین درست میزان ذخیره کمک زیادی می‌کند. این کار به‌دلیل پیچیدگی‌های موجود، زمان بر بودن و مشکل بودن محاسبات مربوطه، با استفاده از نرم‌افزارهای تخصصی، دقیق‌تر و سریع‌تر انجام می‌شود. در این پژوهش، مدل‌سازی کمی سه‌بعدی زمین‌شناسی، اکتشافی (عیارسنجدی) و معدنی (میزان ذخیره) کانسار مس نارباغی شمالی ساوه با استفاده از رویکردهای نرم‌افزار RockWorks16 انجام شده است. به‌طور کلی مجموعه‌های نرم‌افزاری تجاری موجود در بازار به دو دسته نرم‌افزارهای دارای کاربرد در زمینه معدن کاری و نرم‌افزارهای ویژه معدن کاری تقسیم می‌شوند. RockWorks یکی از نرم‌افزارهای خاص کاربری‌های زمین‌شناسی و معدن است (Revuelta, 2017). این نرم‌افزار اولین بار در سال ۱۹۸۵ توسط شرکت RockWare توسعه یافت و نسخه فعلی (۲۰۲۰) محصول مشترک شرکت‌های مختلف تولید نرم‌افزارهای علوم زمین از Microsoft، ESRI، RockWare، Golden Software و Visualogic، Fortner Research قبیل شرکت‌های RockWorks نرم‌افزاری جامع و بسیار قوی برای است. نرم‌افزار RockWorks نرم‌افزاری جامع و بسیار قوی برای تصویرسازی، مدل‌سازی و تجزیه و تحلیل داده‌های زمین‌شناسی و اکتشافی است و انجام مدل‌سازی‌های مختلف بر اساس نوع و میزان داده‌ها و اطلاعات اکتشافی در دسترس و نیز تهیه برش‌های

مهم‌ترین مراحل عملیات اکتشافی یک کانسار شامل ترسیم دقیق نقشه‌ها و مقاطع اکتشافی بر اساس فعالیت‌های اکتشافی انجام گرفته، مدل‌سازی هندسه کانسار و برآورد ذخیره نزدیک به واقعیت است (Hassanipak, 2000). هر کانسار دارای ویژگی‌هایی مانند عیار، ضخامت، عمق و مانند آنهاست که در حقیقت کانسار تو سط آنها تعریف می‌شود. شناخت کامل یک کانسار، مستلزم انجام یک رشته عملیات پردازشی و مدل‌سازی داده‌ها و اطلاعات اکتشافی است. طبق تعریف، مدل‌سازی کانسار عبارت است از "برآورد متغیرهای کانسار برای نقاط بی‌شمار در محدوده‌ای تعیین شده، با مبنای قرار دادن مقادیر معلوم متغیرها برای نقاطی محدود به‌نام نقاط داده، به کمک الگوریتم‌ها یا روش‌های تخمین تعریف شده و نمایش آنها در قالب تصاویر دو بعدی و سه‌بعدی مناسب" (Hassanipak, 2000). ماهیت داده‌های اکتشافی با یکدیگر متفاوت است؛ اما تمامی آنها در فرایند مدل‌سازی از اهمیت ویژه‌ای برخوردارند.

در مرحله اکتشاف کانسارها تمام مؤلفه‌های توصیفی مانند ساختار زمین‌شناسی، سنگ‌شناسی، کانه‌زایی و ساختارهای موجود در منطقه، مورد توجه هستند. بدیهی است که هرچه این شواهد بیشتر باشند، یعنی مجموعه اطلاعات اکتشافی، بیشتر و کامل‌تر باشند، فرایند مدل‌سازی کامل‌تر شده، مدل مفهومی حاصل، دقیق‌تر بوده و به واقعیت نزدیک‌تر خواهد بود و در نتیجه میزان احتمال دستیابی به ذخایر معدنی از نوع موردنظر بیشتر می‌شود. مدل زمین‌شناسخی که شامل کلیه داده‌ها، مشاهده‌ها و بررسی‌های موجود برگردانده شده به زبان مناسب مدل است، می‌تواند تجربی (مشاهده‌ای) یا مفهومی باشد (Erickson, 1992). مدل تجربی بیانگر گردآوری، سازماندهی و یکپارچه‌سازی انواع زیادی از مشاهدات و بررسی‌های شیمیایی، کانی‌شناسی، زمین‌ساختی و مانند آن است؛ در حالی که مدل مفهومی تلاش می‌کند تا چگونگی توزیع و منشاء ویژگی‌های بالا را در قالب مناسبی تبیین و تشریح کند (Ataeepour, 2019).

اطلاعات اکتشافی موجود اعم از اکتشافات غیرمستقیم (برداشت‌های ژئوفیزیکی) و مستقیم (گمانه‌های عمیق) Ahmadi and Sadat بهره‌بردن. احمدی و سادات کوده‌ی (Ahmadi and Sadat, 2018) ذخیره توده کانسار سرب و روی اره گیجه رباط خمین در استان مرکزی را با استفاده از روش‌های زمین‌آماری به کمک نرم‌افزار SGeMS تعیین کرده و آنها را به سه رده ذخایر قطعی، احتمالی و ممکن، رده‌بندی کردند. آنها برای شناخت بهتر کانسار و ماهیت ماده معدنی، چاهنگار سنگ‌شناسی تمام گمانه‌ها و مدل سه‌بعدی سنگ‌شناسی محدوده کانسار را با استفاده از نرم‌افزار Rockworks ترسیم کردند. احمدی و رضابور (Ahmadi and Rezapour, 2019) برای تجسم تغییرات فضایی ویژگی‌های الکتریکی کانسار مس نارباغی شمالی ساوه و پیشنهاد مناسب ترین موقعیت عملیات حفاری، مدل شبه‌سه‌بعدی تغییرات داده‌های ژئوفیزیکی مقاومت ویژه، بارپذیری و عامل فلزی محدوده کانسار را بعد از مدل‌سازی وارون، با استفاده از نرم‌افزار Rockworks تهیه کردند.

در محدوده مورد بررسی، فعالیت‌های اکتشافی نسبتاً گسترشده‌ای نیز انجام شده است. اولین بررسی‌ها و گزارش‌های محدوده اکتشافی مس نارباغی شمالی، به سال ۱۹۶۹ مربوط می‌شد که آثار کانی‌زایی به صورت کالکوست و مالاکیت درون واحدهای آندزیت پورفیری گوارش شده است (Pichab Kansar - Ashrafpour, 2015) با مقیاس ۱:۱۰۰۰ توسط اشرف‌پور (Surur, 2008) از شرکت مس سازان زاگرس، برداشت‌های ژئوفیزیکی با روش‌های مقاومت ویژه الکتریکی و قطبش القایی در محدوده کانسار (۱۳۸۸ و ۱۳۸۹) توسط شرکت مس سازان زاگرس، نمو نه برداری از رخمنون‌های سطحی، حفاری ترانشه‌ها و گمانه‌های اکتشافی از دیگر فعالیت‌های اکتشافی در منطقه است.

موقعیت جغرافیایی و زمین‌شناسی منطقه محدوده اکتشافی نارباغی شمالی در شمال خاوری استان مرکزی

مختلف از درون ماده معدنی را برای زمین‌شناسان، مهندسان معدن و کاربران علوم زمین امکان پذیر می‌سازد. این نرم‌افزار شامل مجموعه‌های از نرم‌افزارهای مختلف است که هر یک، کاربرد و کارایی خاصی دارند و به صورت نرم‌افزاری جامع برای تجزیه و تحلیل داده‌های سطحی و اطلاعات بدست آمده از گمانه‌های اکتشافی برای فعالیت‌های زمین‌شناسی و معدنی، ایجاد شده است (Tutorial-RockWare, 2016). به طور خلاصه RockWorks شامل چهار بخش شبکه، نقشه، مدل‌های جامد و أحجام است. البته به دلیل حجم بالای منوها و کاربری‌ها، اغلب کاربران غیرحرفه‌ای، با سردرگمی و مشکلاتی مواجه RockWorks می‌شوند. یکی از مهم‌ترین قابلیت‌های نرم‌افزار طیف وسیع الگوریتم‌ها و روش‌های هندسی (کلاسیک) و زمین‌آماری تخمین ذخیره است و از مزایای آن در مقایسه با دیگر نرم‌افزارهای تخصصی همانند Datamine، سادگی و سرعت عمل نسبی، کاربر پسند بودن (نمایش گزینه‌ها و مؤلفه‌های مختلف مربوطه در هر بخش به وسیله شکل و شمایل) و قدرت گرافیک بالای آن است. نرم‌افزار RockWorks پروژه‌های کاربردی مختلف و نیز پژوهش‌های محدودی در زمینه زمین‌شناسی و معدن به کار گرفته شده است. به عنوان نمونه تصویر سازی سه‌بعدی مقطعی از تونل Tunberget و زون‌های شکستگی مهم با ترکیب سطح توپوگرافی، اندازه‌گیری‌های در سطح صفحات شکستگی همراه با سطوح دایک‌های دلبری، نتایج حاصل از مدل‌سازی مغناطیسی دایک‌های دلبری و داده‌های نقشه‌برداری تونل توسط شرکت ArcGIS و RockWorks انجام شد. وی از نرم‌افزارهای RockWorks برای پردازش داده‌ها و تصویرسازی سه‌بعدی ارتباط هندسی میان ساختارهای زمین‌شناسی هدف، دایک‌های دلبری و تونل استفاده کرد. احمدی و افضلی (Ahmadi and Afzali, 2017) برای به تصویر کشیدن مطلوب ماده معدنی سرب و روی در کانسار اره گیجه رباط خمین، از قابلیت‌های گرافیکی نرم‌افزار Rockworks استفاده کردند. آنها برای این منظور از تمام

است که به صورت جانبی دگرسانی‌های دیگر را دربر می‌گیرد و بهوسیله کانی‌های کلریت و اپیدوت مشخص می‌شود (Pichab Kansar consultant engineers Co., 2015).

مهم‌ترین و بزرگ‌ترین توده نفوذی در محدوده اکتشافی شمال نارباغی دارای ترکیب گرانیت تا گرانودیوریت پورفیری است که با رنگ خاکستری خود به خوبی از واحدهای دربرگیرنده بهویژه آندزیت متمایز است. این توده به صورت تپه‌های فرسایش یافته بروزنزد دارد و بلندترین ارتفاعات محدوده اکتشافی را نیز تشکیل می‌دهد. توده یادشده، بافت دانه‌ای تا پورفیری دارد و آنکلاوهایی از آندزیت در داخل این سنگ‌ها Pichab Kansar consultant engineers (Co., 2015) دیده می‌شود. در بخش شمالی و مرکزی محدوده، توده‌های نفوذی میکروگرانیتی زرد تا قهوه‌ای روشن و صورتی رنگ دیده می‌شود. این توده‌های نفوذی در بخش‌هایی حاوی رگچه‌های سیلیسی، کالکوپیریت، پیریت، کالکو سیت، مالاکیت و تنتیت است و بیشتر کارهای اکتشافی از جمله حفاری‌ها در این توده‌های نفوذی انجام شده است. از نظر ساختاری نیز به طور کلی تحولات چندانی در محدوده اکتشافی دیده نمی‌شود. گسل‌های ناحیه مورد بررسی دارای دو جهت عمومی شمال‌خاور-جنوب‌باخته و شمال‌باخته-جنوب‌خاور بوده، گسل‌های شمال‌باخته-جنوب‌خاور اغلب کهن‌تر بوده و گاه توسط گسل‌های شمال‌خاور-جنوب‌باخته جای‌جا شده‌اند. بزرگ‌ترین گسلی که در منطقه دیده می‌شود، گسلی با روند تقریبی شمالی-جنوبی است که در غرب محدوده اکتشافی وجود دارد. گویا عوامل ساختاری تأثیر چندانی در کانه‌زایی ندارند و کانه‌زایی بیشتر تابع نوع سنگ‌شناسی است. با توجه به نوع کانه‌زایی که بیشتر به صورت افسان در متن سنگ رخ داده، تأثیر گسل‌ها بیشتر به صورت محلی بوده است. این گسل‌ها به صورت محلی باعث غنی‌شدن کانه‌زایی مس شده‌اند.

بورسی عملیات اکتشافی منطقه مورد بررسی
در این محدوده، تعداد ۱۱ رشته ترانشه اکتشافی به طول ۲۳۴ متر

و در فاصله ۲۶ کیلومتری شمال‌خاوری شهرستان ساوه در ورقه زمین‌شناسی ۱:۱۰۰,۰۰۰ زاویه بین طول جغرافیایی "۳۶°۵۲' ۳۲'۳۴" و عرض جغرافیایی "۲۶°۲' ۳۸'۶۱" تا "۹°۳۵' ۱۷'۹۴" شمالی واقع است. بر اساس تقسیم‌بندی ساختاری ایران توسط علوی (Alavi, 1991) و اشتوكلین (Stoecklin, 1968)، محدوده اکتشافی مس نارباغی شمالی در بخش میانی کمربند ماگمایی ارومیه-دختر واقع است. برخی از پژوهشگران، کانسار مس نارباغی را یک کانسار طلا، نقره و مس Ghaderi et al., 2016; (Fazli et al., 2019) و در برخی از منابع نیز کانسار مس نارباغی Pichab Kansar شمالی از نوع پورفیری معروف شده است (consultant engineers Co., 2015).

رخمنون‌های سنگی منطقه شامل توالی‌های آتشف‌شانی-رسوبی اثرسن با ترکیب آندزیت و توف بلورین-خرده‌سنگی است که توسط توده‌های نفوذی نیمه عمیق با ترکیب دیوریت و مونزودیوریت الیگو سن قطع شده‌اند. توده‌های نفوذی نیمه عمیق با ترکیب دیوریت و مونزودیوریت میزان اصلی کانه‌زایی مس در این محدوده اکتشافی است. این کانسار دارای جهت یافنگی تقریبی شمال‌باخته-جنوب‌خاوری است. کانه‌زایی بیشتر به صورت رگه و رگچه‌های سیلیسی-سولفیدی حاوی پیریت و کالکوپیریت، رگه‌های برشی شامل سولفید و سولفوسالت‌ها به دو صورت افسان و پرکننده شکستگی‌ها (رگه و رگچه‌ای) و کانی‌های کربناتی مس شامل مالاکیت و آزوریت مشاهده می‌شود (Ghaderi et al., 2016). زون‌های دگرسانی وسیع شامل دگرسانی‌های فیلیک (سریسیتی)، آرژیلیک و پروپیلیتیک است (Fazli et al., 2019). دگرسانی فیلیک بهوسیله جایگزینی سریسیت و کوارتز به جای بیشتر کانی‌های سیلیکاتی سنگ‌ساز مشخص می‌شود. فرایندهای هوازدگی و اکسیداسیون در زون فروشست باعث تبدیل بخشی از کانی‌های سولفیدی به کانی‌های کربناتی و نیز اکسیدها و هیدروکسیدهای آهن به همراه جارو سیت شده است. دگرسانی پروپیلیتیک آخرین فاز دگرسانی و گستره‌ترین دگرسانی موجود در محدوده اکتشافی

کالکوسیت، کالکوپیریت، مالاکیت و تنانیت حفاری شده‌اند.

روش‌شناسی پژوهش

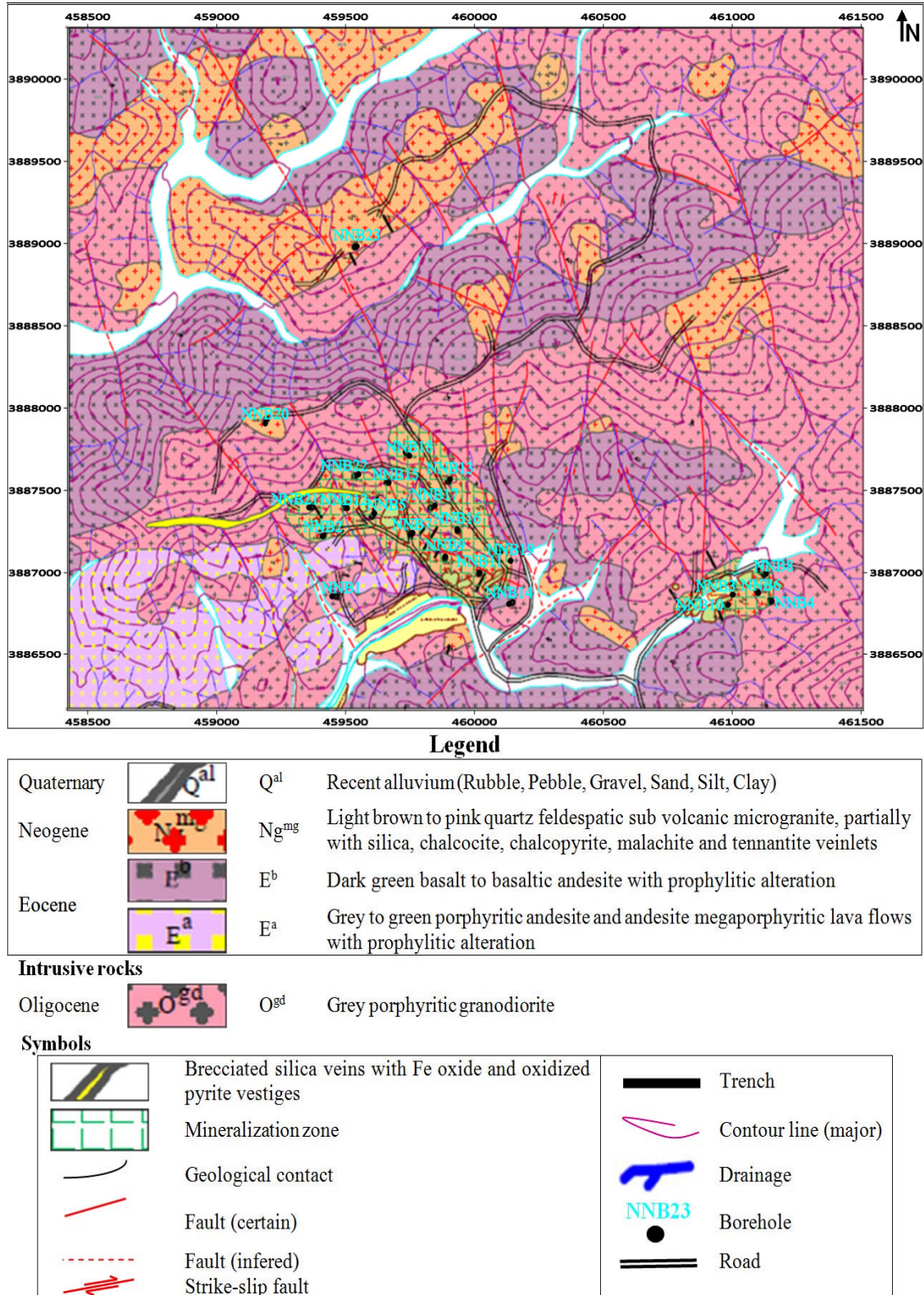
هدف اصلی از انجام این پژوهش، مدل سازی ریاضی سه‌بعدی زمین‌شناسی (سنگ‌شناسی، دگرسانی)، کانه‌زایی (عیارسنجدی) و ذخیره‌معدنی کانسار مس نارباغی شمالی ساوه با استفاده از اطلاعات چاهنگار گمانه‌های اکتشافی و عیارسنجدی مغزه‌های حفاری آنها و تهیه مقاطع عرضی گوناگون با استفاده از روش‌های درون‌یابی مناسب است. این کار با استفاده از اطلاعات اکتشافی تمام گمانه‌های اکتشافی منطقه به کمک قابلیت‌های نرم‌افزار RockWorks و از طریق الگوریتم‌های ریاضی موجود در این نرم‌افزار انجام شده است. ترسیم مسیر درست و استفاده Rockworks صحیح کاربران از قابلیت‌های مختلف نرم‌افزار روش‌های مختلف تخمین ذخیره موجود در نرم‌افزار، انتخاب درست مؤلفه‌ها و روش‌های تخمین ذخیره به‌طور متناوب با نوع کانسار، نوع و میزان داده‌ها و اطلاعات اکتشافی موجود نیز از جمله اهداف این پژوهش است.

مدل‌سازی کانسار مس نارباغی شمالی با استفاده از نرم‌افزار RockWorks

در این بخش ابتدا با استفاده از نرم‌افزار RockWorks و از طریق ترسیم چاه نگار^۱ گمانه‌ها، مقاطع عرضی سنگ‌شناسی، دگرسانی و عیارسنجدی ماده معدنی و نیز ترسیم مدل سه‌بعدی سنگ‌شناسی، دگرسانی و مدل سه‌بعدی (صلب) عیارسنجدی کانسار، شناخت کاملی از کانسار مس نارباغی شمالی ساوه انجام شد. برای ارائه تصویری از تغییرات سنگ‌شناختی، دگرسانی و عیارسنجدی ماده معدنی درون کانسار، برش‌هایی در آن ایجاد شده است. در شکل ۲، موقعیت پنج پروفیل اکتشافی در راستاهای مختلف بر روی گمانه‌های اکتشافی در محدوده کانسار مس نارباغی شمالی، انتخاب و ترسیم شده است. در این شکل پروفیل‌ها بگونه‌ای انتخاب شده است که شاخص بوده و هر پروفیل تا حد ممکن، بیشترین تعداد گمانه را دربرداشته باشد.

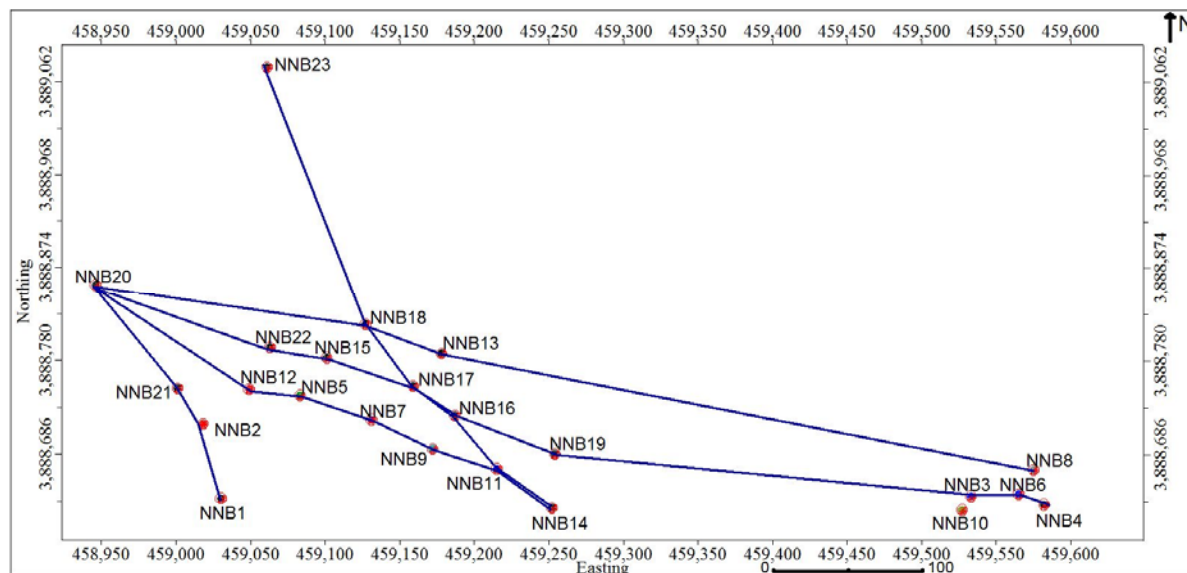
در واحدهای کوارتز مونزو دیوریتی- مونزو گرانیتی حفر شده است. پس از انجام عملیات مرحله پی‌جوبی و بررسی‌های زمین‌شناسی و ژئوفیزیکی در منطقه، دو محدوده امیدبخش کانی‌سازی مس به صورت دو استوک کوارتز مونزو نیتی با دگرسانی فلیک و پتاسیک، شناسایی شده و تعداد ۲۳ حلقه گمانه اکتشافی قائم به نام‌های NNB1 تا NNB23 در محدوده دو استوک شامل ۵ گمانه در استوک شرقی و ۱۸ گمانه در استوک غربی حفاری شده است. در مجموع حدود ۲۴۲۵ متر گمانه اکتشافی حفاری شده است که عمق حفاری‌ها از ۵۲ متر (گمانه NNB9) تا ۲۲۴ متر (گمانه NNB1) متغیر است (Pichab Kansar consultant engineers Co., 2015). از تمامی مغزه‌های به‌دست آمده از گمانه‌ها، برای بررسی‌های پتروگرافی، کانه‌نگاری و تجزیه شیمیایی، مغزه‌گیری و برداشت انجام شد. تعداد ۵۵۸ نمونه برای تعیین فراوانی عنصر مس، مورد تجزیه شیمیایی قرار گرفت که نتایج تجزیه شیمیایی نمونه‌ها عیار مس را بین ۲ گرم در تن تا ۱۲/۲ درصد متغیر نشان می‌دهد. کانی‌سازی در مغزه‌های حاصل از حفاری‌های این محدوده بیشتر به صورت ملاکیت، آزوریت، پیریت و کمتر کالکوپیریت و کالکوسیت است که با بافت‌های پراکنده و رگه و رگچه‌ای در سنگ میزان دیده می‌شود (Pichab Kansar consultant engineer Co., 2015).

در شکل ۱، موقعیت پراکنده‌گی گمانه‌های اکتشافی کانسار مس نارباغی شمالی بر روی نقشه توپوگرافی- زمین‌شناسی با مقیاس ۱:۱۰۰۰ محدوده با مساحت هشتاد هکتار نشان داده شده است. طبق این شکل، بیشتر گمانه‌های اکتشافی در دو منطقه مجزا در بخش‌های کم ارتفاع و در دامنه جنوبی این رشته‌کوه متمرکز هستند. گمانه NNB20 درست در قله جنوب‌باختر این رشته‌کوه، حفاری شده و تنها گمانه NNB23 به دور از سایر گمانه‌ها در دامنه شمالی رشته‌کوه قرار دارد. همچنین تمامی گمانه‌ها در دامنه شمالی رشته‌کوه قرار دارد. همچنین تمامی گمانه‌ها (به جز گمانه NNB14) در توده نفوذی نیمه عمیق میکروگرانیت به‌طور بخشی همراه با رگچه‌های سیلیس،



شکل ۱. موقعیت پراکندگی گمانه‌های اکتشافی کانسار مس نارباغی شمالی بر روی نقشه توپوگرافی-زمین‌شناسی با مقیاس ۱:۱۰۰۰ منطقه

Fig. 1. Location map of exploration boreholes in the North-Narbaghi copper deposit on topographic-geological map with the scale of 1:1000



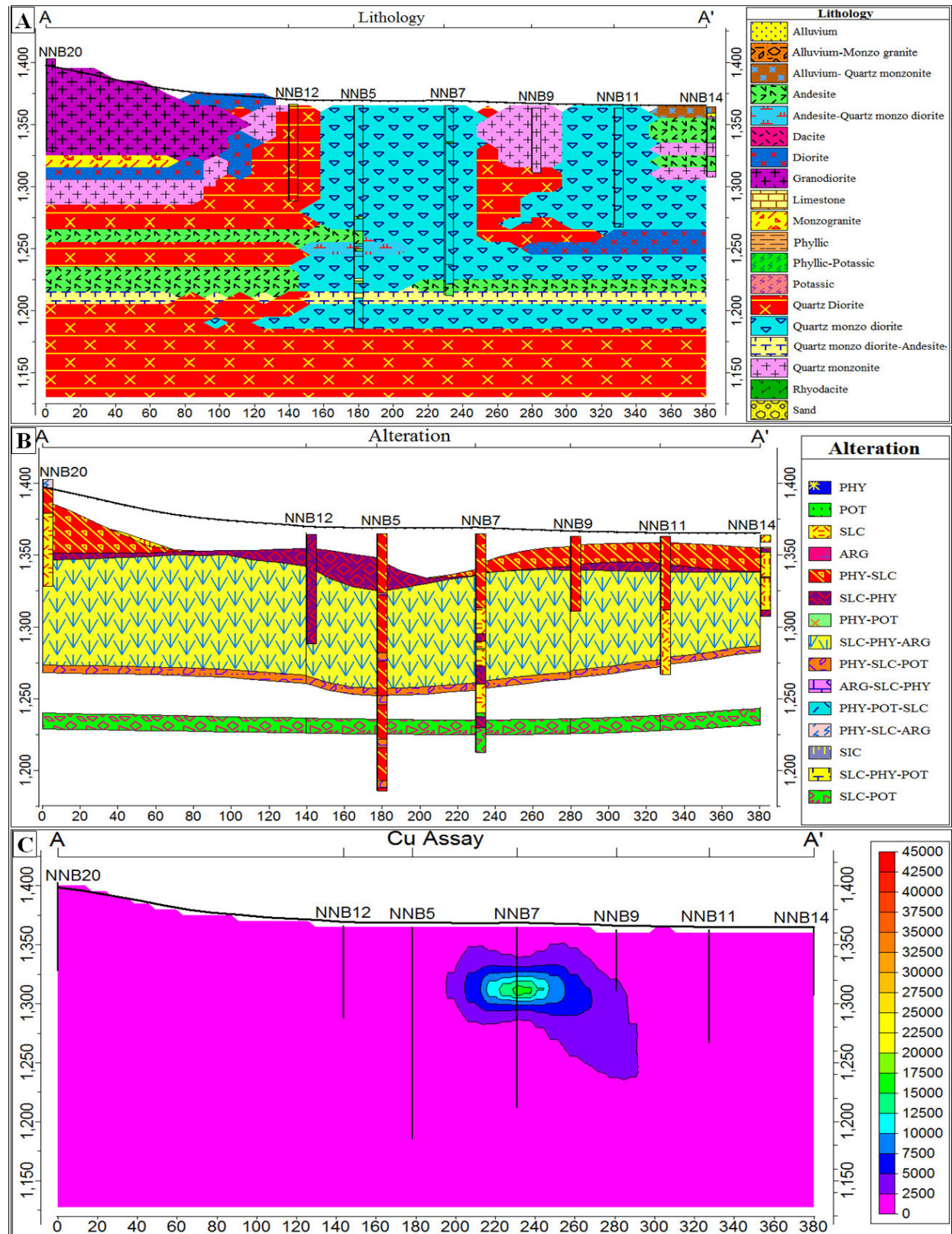
شکل ۲. نقشه موقعیت پروفیل‌های اکتشافی انتخاب شده در محدوده کانسار مس نارباغی شمالی

Fig. 2. Location map of selected exploration profiles in the North-Narbaghi copper deposit.

زمین، انتخاب شد. درون یابی مقادیر خارج از ردیف نیز همانند عملیات برونو یابی است که به درون یابی کامل و به نقشه درآمدن تمام محدوده درون حد و مرز نیم رخ عرضی منجر می‌شود. در غیر این صورت، بخش‌هایی از درون محدوده در نزدیکی مرزها به نقشه درنیامده و به صورت خالی خواهد ماند. در ترسیم نیم رخ عرضی دگرسانی برای درون یابی سطوح، از الگوریتم عکس مجدور فاصله برای شبکه‌بندی^۴ استفاده شده است. برای ترسیم نیم رخ عرضی عیار‌سنگی از الگوریتم عکس مجدور فاصله وزن‌دار پیشرفت^۵ در ساخت مدل جامد عیار‌سنگی و از قاعده بولین^۶ یعنی درنظر گرفتن ۱ برای کانه و صفر برای باطله استفاده شده است. در الگوریتم عکس مجدور فاصله وزن‌دار پیشرفت، امکان وزن‌دهی فاصله با توان متفاوت در جهت‌های مختلف، وجود دارد. در این پژوهش، توان فاصله در راستای عمقی به دلیل وجود توالی مغزه‌های حفاری دارای عیار‌سنگی و طول تقریباً یکسان، ۲ و در راستای افقی به دلیل فاصله‌های زیاد گمانه‌ها از یکدیگر، ۱ منظور شده است.

به عنوان نمونه شکل A-۳، نیم رخ عرضی اطلاعات سنگ‌شناسی، B-۳، دگرسانی و C-۳، عیار‌سنگی نظری پروفیل (AA') گذرنده از هفت گمانه اکتشافی NNB11، NNB14، NNB20 و NNB21، NNB12، NNB5، NNB7، NNB9، NNB13، NNB15، NNB16، NNB17، NNB18، NNB19، NNB22، NNB23 در شکل ۲ را نشان می‌دهد. در ترسیم نیم رخ عرضی سنگ‌شناسی برای طرح اختلاط سنگ‌شناختی^۱ از الگوریتم اختلاط تصادفی^۲ به همراه درون یابی مقادیر خارج از ردیف^۳ استفاده شده است. این الگوریتم مدل‌سازی سنگ‌شناختی خاص در RockWorks به طور کلی برای پر کردن فضای خالی بین چاهنگارها استفاده می‌شود. این فرایند مدل‌سازی ابتدا برای برونو یابی به کار می‌رود. به این صورت که برنامه بر اساس فاصله‌های سنگ‌شناسی مشاهده‌ای در چاهنگارها، در کل محدوده عملیات برونو یابی را به طرف خارج از چاهنگارها انجام می‌دهد؛ سپس درون یابی بین داده‌ها صورت می‌گیرد. الگوریتم اختلاط تصادفی به دلیل پیچیدگی‌های زمین شناسی منطقه و امکان حضور هر نوع واحد سنگ شناستی در فاصله‌های بین گمانه‌های اکتشافی (که بدون اطلاعات اکتشافی هستند) ناشی از فعالیت‌های مختلف درون

- | | |
|-----------------------|---|
| 1. Lithoblending | 4. Gridding |
| 2. Randomize Blending | 5. Advanced inverse distance weighted (IDW) |
| 3. Outliers | 6. Boolean |

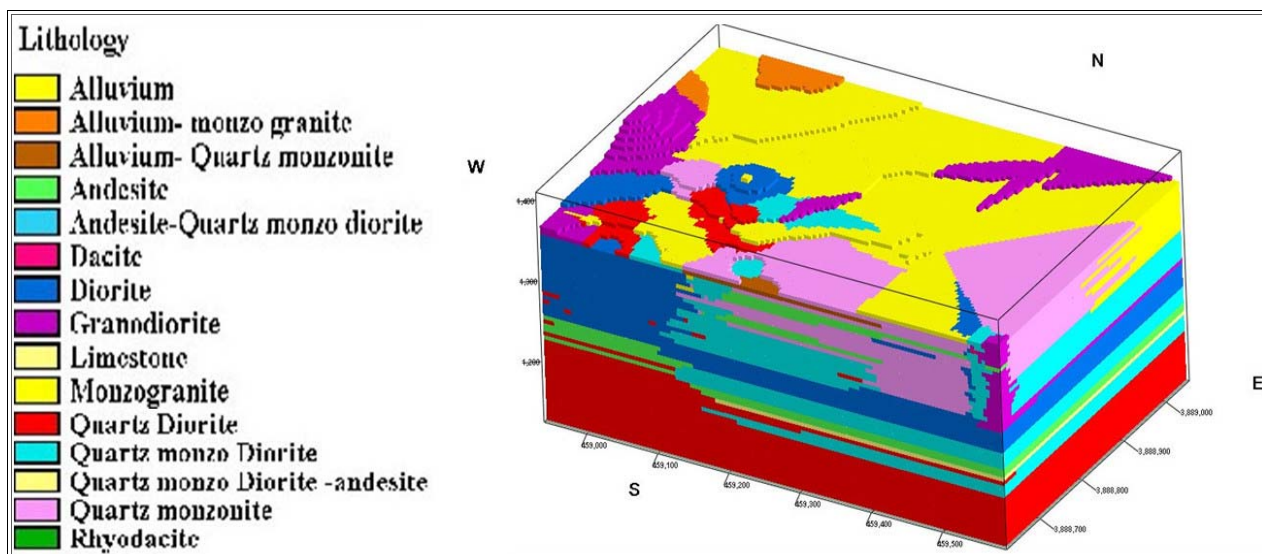


شکل ۳. نیم رخ عرضی A: سنگ‌شناسی، B: دگرسانی و C: عیارسنجی نظری پروفیل AA' با ۷ گمانه در شکل ۲ در کانسار مس نارباغی شمالی

Fig. 3. Cross-section of A: lithology, B: alteration, and C: assay data for profile AA' with 7 boreholes from Figure 2 in the North-Narbaghi copper deposit

سنگی موجود در محدوده کانسار بیشتر شامل آندزیت پورفیری تا مگاپورفیری است. سطح محدوده نیز بیشتر توسط آبرفت، کوارتزمونزونیت، گرانودیبوریت، دیبوریت و کوارتزمونزودیبوریت پوشیده شده است. به طور کلی، از لحاظ سنگ‌شناسی، گمانه‌ها اغلب از کوارتزدیبوریت، کوارتزمونزوندیبوریت، مونزوگرانیت و دیبوریت، کوارتز مونزونیت و آندزیت تشکیل شده‌اند.

شکل ۴، مدل سه‌بعدی سنگ‌شناسی منطقه را نشان می‌دهد که جهت ساخت این مدل، برای طرح اختلاط لیتولوژی از الگوریتم اختلاط تصادفی به همراه درون یابی مقادیر خارج از ردیف استفاده شده است. طبق این شکل، از نظر لیتولوژی واحدهای سنگی کوارتزدیبوریت، کوارتزمونزوندیبوریت، مونزوگرانیت و دیبوریت بیشترین سهم را در منطقه مورد بررسی دارند. واحدهای



شکل ۴. مدل سه‌بعدی سنگ‌شناسی کانسار مس نارباغی شمالی

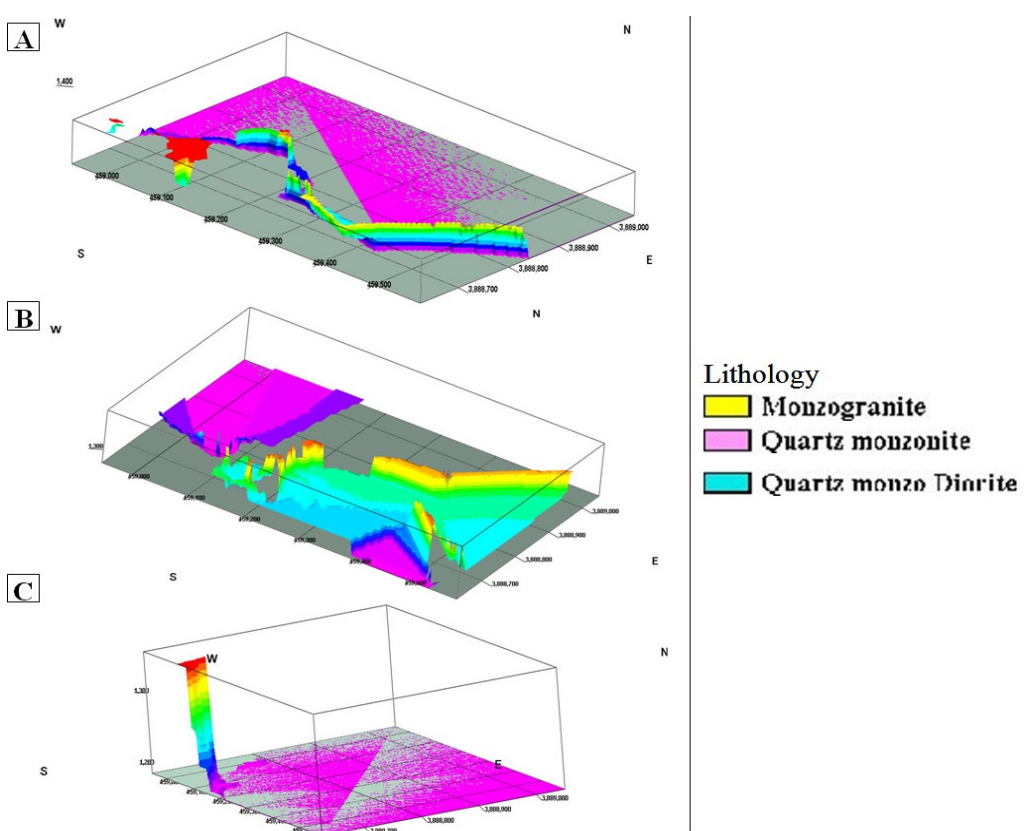
Fig. 4. 3D lithology model of the North-Narbaghi copper deposit

مورد بررسی، هیچ گونه دایکی مشاهده نمی‌شود و با توجه به نتایج مدل‌سازی‌های شکل ۵، به نظر می‌رسد که دایک‌های احتمالی نامبرده به سطح زمین نرسیده‌اند. واحدهای سنگی این شکل نیز مطابق راهنمای رنگی واحدهای سنگی شکل ۴ است. در شکل ۶، مدل سه‌بعدی دگرسانی کانسار مس نارباغی شمالی نشان‌داده شده است. برای تولید این مدل از اطلاعات دگرسانی چانگار گمانه‌های اکتشافی به کمک مغزه‌های حفاری استفاده شده و در فاصله‌های بین گمانه‌ها و نبود اطلاعات اکتشافی برای درون یابی سطوح، از الگوریتم عکس مبنی‌دور فاصله برای شبکه‌بندی استفاده شده است. طبق این شکل، تقریباً تمام انواع دگرسانی در سنگ‌های محدوده مورد بررسی رخداده و در

از آنجایی که توده نفوذی مونزوگرانیت-کوارتزمونزوندیبوریت میزبان اصلی کانی‌زایی در محدوده اکتشافی شمال نارباغی است، در شکل A-5، B و C، مدل سه‌بعدی سه نوع واحد سنگی به ترتیب مونزوگرانیت، کوارتزمونزونیت و کوارتز مونزوندیبوریت نیز به طور جداگانه نشان‌داده شده‌اند. با توجه به این شکل مشاهده می‌شود که توده نفوذی مونزوگرانیت به صورت نواری موج دار دایک مانند در راستای شرقی-غربی در محدوده وجود دارد. توده نفوذی کوارتزمونزونیت اغلب در بخش شرقی و مرکزی محدوده تمرکز دارد و واحد کوارتزمونزوندیبوریت به طور خیلی محدود در قسمت جنوب‌غربی محدوده همانند یک دایک یافت می‌شود. البته در سطح محدوده

است. در واقع آندزیت بازالی تحت تأثیر دو دگرسانی قرار گرفته و دگرسانی سیلیسی احتمالاً هم‌زمان با دگرسانی فیلیک رخداده است (Pichab Kansar consultant engineers Co., 2015).

سطح محدوده اغلب دگرسانی سیلیسی-فیلیک^۱ مشاهده می‌شود. دگرسانی سیلیسی را می‌توان در بسیاری از قسمت‌ها به‌ویژه همراه با دگرسانی فیلیک و آرژیلیک مشاهده کرد؛ اما گستردگی تأثیر آن تنها در آندزیت بازالی قابل نقشه‌برداری



شکل ۵. مدل سه‌بعدی سنگ‌شنا سی A: مونزوگرانیت، B: کوارتزمونزونیت و C: کوارتزمونزودیوریت به عنوان میزبان اصلی کانی‌زایی در محدوده اکتشافی مس نارباغی شمالی

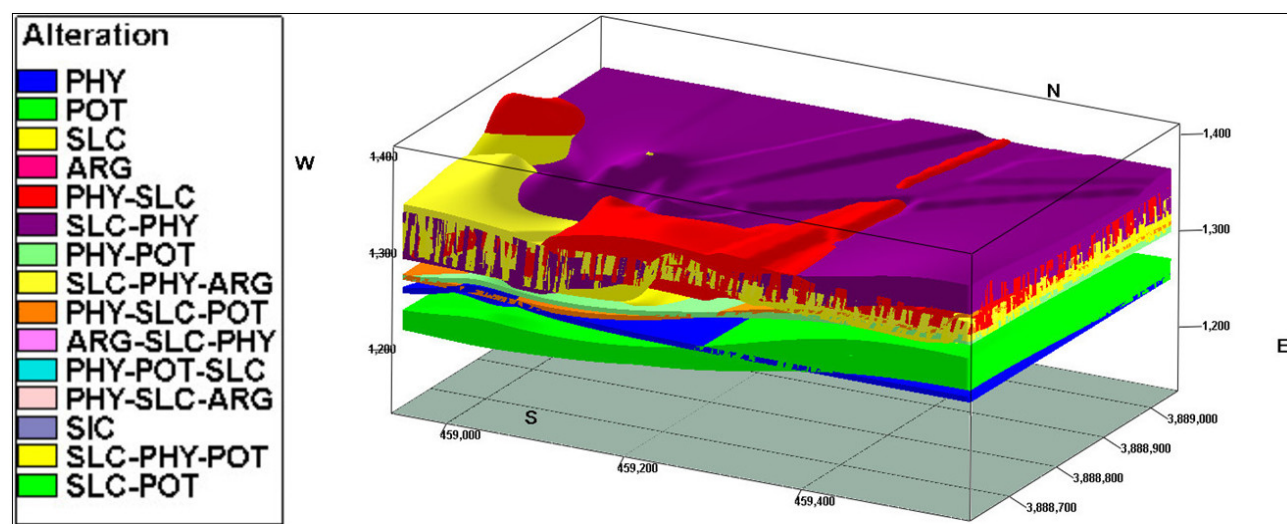
Fig. 5. 3-D lithology model of A: monzo granite, B: quartz-monzonite, and C: quartz-monzodiorite as the main host rock of mineralization in the exploration region of the North-Narbaghi copper

نشان می‌دهد. طبق این شکل، تغییرات عیار منطقه مورد بررسی با کمترین مقدار صفر و بیشترین مقدار ۴۵۰۰ گرم در تن به ۱۸ محدوده رنگی با رنگ‌های مختلف تقسیم شده است. بر اساس این شکل بخش اعظم محدوده دارای عیار بسیار پایین (کمتر از ۲۵۰۰ گرم در تن) است که با رنگ بنفش مشخص شده و

در شکل ۷، مدل سه‌بعدی (صلب) عیارسنجدی کانسار مس نارباغی شمالی نشان‌داده شده که برای ساخت این مدل نیز از الگوریتم عکس مجذور فاصله وزن دار پیشرفته، استفاده شده است. راهنمای رنگی عیاری در این شکل، تغییرات میزان عیار ماده معدنی در گمانه‌های اکتشافی منطقه را بر حسب گرم در تن

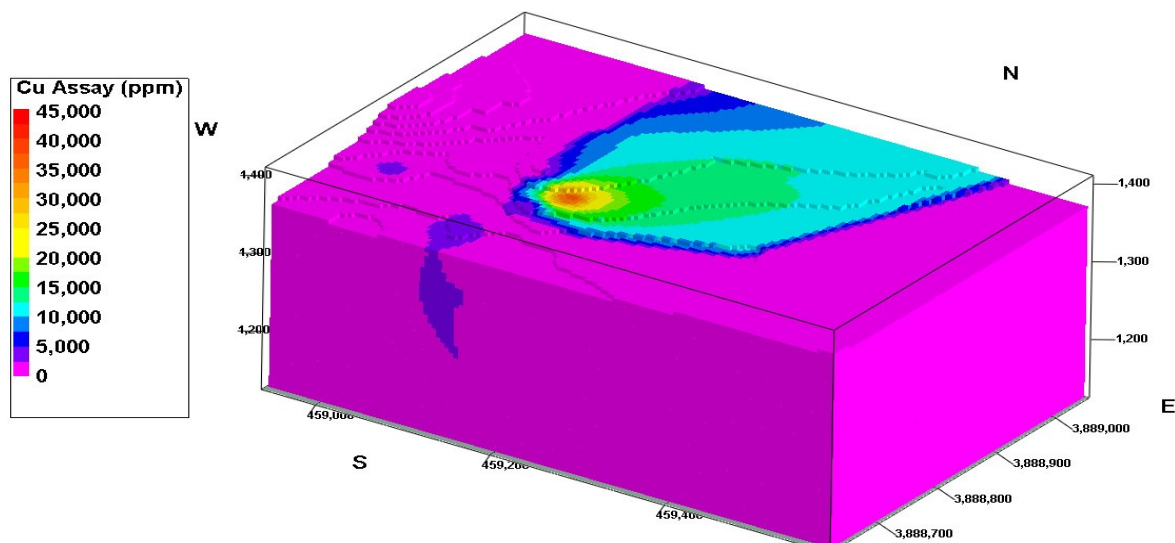
۱۰۰۰ گرم در تن) که با طیف رنگی از آبی روشن تا قرمز در شکل نمایش داده شده است، از وسعت زیادی برخوردار نیست. بدیهی است که دقت تمام مدل‌های ایجاد شده، به تعداد گمانه‌های اکتشافی و میزان و دقت اطلاعات اکتشافی موجود بستگی دارد.

محدوده با عیار نسبتاً بالا (بیش از ۲۵۰۰ گرم در تن) در بخش مرکزی محدوده قرار دارد. با وجود نبود اطلاعات (گمانه‌های) اکتشافی کافی در نیمه شمالی محدوده، گسترش ماده معدنی (البته با عیار کمتر نسبت به مرکز محدوده) به سمت شمال و شمال شرقی محدوده است. چنان‌که در این شکل مشاهده می‌شود؛ به‌طور کلی محدوده حاوی ماده معدنی (با عیار بیش از



شکل ۶. مدل سه‌بعدی دگرسانی کانسار مس نارباغی شمالی

Fig. 6. 3D alteration model of the North-Narbaghi copper deposit.



شکل ۷. مدل سه‌بعدی عیار‌سنجی کانسار مس نارباغی شمالی

Fig. 7. 3D assay data model of the North-Narbaghi copper deposit

(همانند رویکرد مثلث‌بندی Delaunay در بخش Ez-Volum...، خودداری شد.

در محاسبة ذخیره کانسار مس نارباغی شمالی با تمام روش‌های مورد استفاده، فقط از اطلاعات ۲۳ حلقه گمانه اکتشافی عمیق استفاده شد؛ زیرا نمی‌توان ارتباط چندان منطقی و معناداری بین داده‌های کارهای اکتشافی سطحی (ترانشه‌های اکتشافی) و عمقی (گمانه‌های اکتشافی) در کانسار برقرار کرد. در تمام موارد وزن مخصوص متوسط ماده معدنی نیز ۲/۶۵ گرم بر سانتی‌متر مکعب (Pichab Kansar consultant engineers Co., 2015) منظور شد. همچنین برای دستیابی به مؤلفه‌های تخمین همانند ساعهای تجسس برای تخمین‌های هر چه درست‌تر در ارزیابی عیار و تناز کانسار، از نتایج تجزیه و تحلیل ساختار فضایی (واریوگرافی) کانسار توسط نرم‌افزار SGeMS (Remy et al., 2006; Bohling, 2007; Remy et al., 2009) استفاده شد.

واریوگرافی کانسار

برای شناسایی ساختار فضایی، تعیین وضعیت همسان‌گردی یا ناهمسان‌گردی کانسار و انجام تخمین‌های سه‌بعدی عیار در مراحل بعدی، واریوگرافی در منطقه مورد بررسی به این شکل انجام شد که از آزمیوت ۰ و ۱۲۰ تا ۲۷۰ و ۲۸۵ درجه هر پنج درجه یک واریوگرام و از شبیه ۰ و ۵۰ تا ۹۰ درجه از هر پنج درجه با گام‌های مختلف با استفاده از نرم‌افزار SGeMS (در فضای سه‌بعدی) ترسیم شد و در نهایت تعداد ۳۰۰ واریوگرام به دست آمد که در شکل ۸ تعدادی از واریوگرام‌های امتدادی ترسیم شده در منطقه مورد بررسی نشان‌داده شده است. نمودارهای شکل ۸ نشان می‌دهند که مقادیر واریوگرام‌های تجربی محاسبه شده برای محدوده مورد بررسی تاحدودی پراکنده هستند و این موضوع در ارتباط با ماهیت ذاتی کانسار و پیچیدگی‌های زمین‌شناسی آن است. همچنین با توجه به

تخمین ذخیره کانسار مس نارباغی شمالی با RockWorks

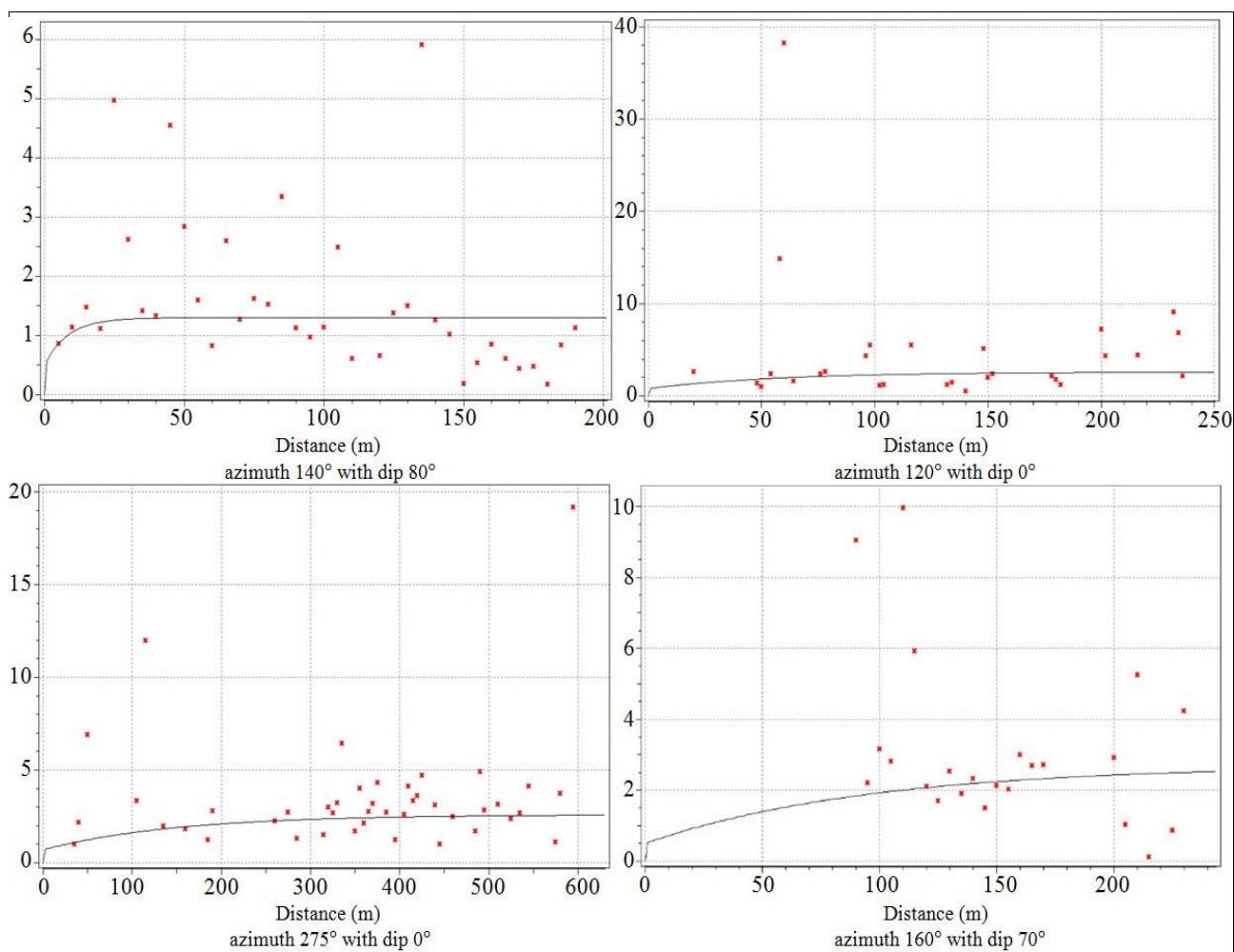
تخمین ذخایر معدنی به روش‌های گوناگونی انجام می‌شود که تفاوت این روش‌ها، بیشتر در دقت و سرعت الگوریتم محاسبه و داده‌های مورد نیاز آن روش است (Ahmadi, 2010). از آن جایی که ذخایر معدنی در سطح زمین یا در اعماق آن، به شکل‌های بسیار متفاوتی یافت می‌شوند، انتخاب روش محاسبه ذخیره، تابع وضعیت ماده معدنی و ویژگی‌های کارهای اکتشافی است (Madani, 1997; Ahmadi, 2019). ذخایر معدنی بر اساس محدودیت‌های کمی از جمله درجه اعتبار ذخیره محاسبه شده به سه گروه اصلی قطعی^۱، احتمالی^۲ و ممکن^۳ رده‌بندی Goovaerts, 1997; Madani, 1997; Annels, 2012). در این سه گروه، رده قطعی، بیشترین سطح اعتماد را دارد و به دنبال آن رده احتمالی و در انتهای رده ممکن با کمترین سطح اعتماد دیده می‌شود. برای تقسیم‌بندی ذخایر به رده‌های مشخص از معیارهای مختلفی همانند واریانس تخمین، تعداد نمونه‌های شرکت‌کننده در تخمین، فاصله نمونه‌ها تا بلوك و Young, 2008; Annels, 2012 (Ahmadi and Sadat Koodehi, 2018).

در نرم‌افزار RockWorks محاسبه حجم ماده معدنی از دو طریق امکان‌پذیر است. یکی از طریق پنجره Borehole Manager، منوی I-Data، زیرمنوی ... Volumetrics و چهار مسیر دیگر 2D (Grid, Ez-Volume... Utilities با عنوانین ... Grade Block Model Grade Model) ... Compute Grade-Thickness (GT) Grid ... Thickness Volume & Mass قرار دارند که همگی زیرمجموعه منوی اصلی Volumetrics هستند. در این پژوهش، از روش‌های دقیق‌تر موجود در نرم‌افزار و متناسب با شرایط کانسار مورد بررسی، بهره‌گرفته شد. تخمین ذخیره با تمام روش‌های موجود در نرم‌افزار (برای مقایسه) صورت گرفت؛ اما از آوردن نتایج روش‌های کلاسیک ساده، معمول و با دقت کمتر

1. Measured
2. Indicated
3. Inferred

دارای شعاع ۱۸۰ متر و در راستای عمقی دارای شعاع ۶۰ متر است. بنابراین در این پژوهش، بر اساس نتایج واریوگرافی و اطلاعات و شناخت نویسنده مقاله از وضعیت کانسار مورد بررسی به دلیل بازدیدهای صحرایی، مقادیر شعاع‌های تجسس (تأثیر) متناظر با رده‌های ذخایر از نوع قطعی، احتمالی و ممکن به ترتیب برابر با ۵۰، ۱۳۰ و ۴۳۳ متر منظور شد.

واریوگرام‌های شکل ۸ مشاهده می‌شود که اغلب واریوگرام‌های تجربی محدوده مورد بررسی با واریوگرام‌های تئوری از نوع کروی انطباق یافته‌اند و کانسار نامحسان گرد است. بر اساس واریوگرافی انجام شده در منطقه نارباغی شمالی، بیضوی تجسس در راستای آزمیوت ۲۷۵ درجه دارای شعاع ۴۳۳ متر با زاویه شب ۵ درجه نسبت به افق، در راستای آزمیوت ۵ درجه



شکل ۸. واریوگرام‌های امتدادی ترسیم شده در راستاهای مختلف در منطقه نارباغی شمالی

Fig. 8. Directional variograms drawn in the variety of directions for the North-Narbaghi area

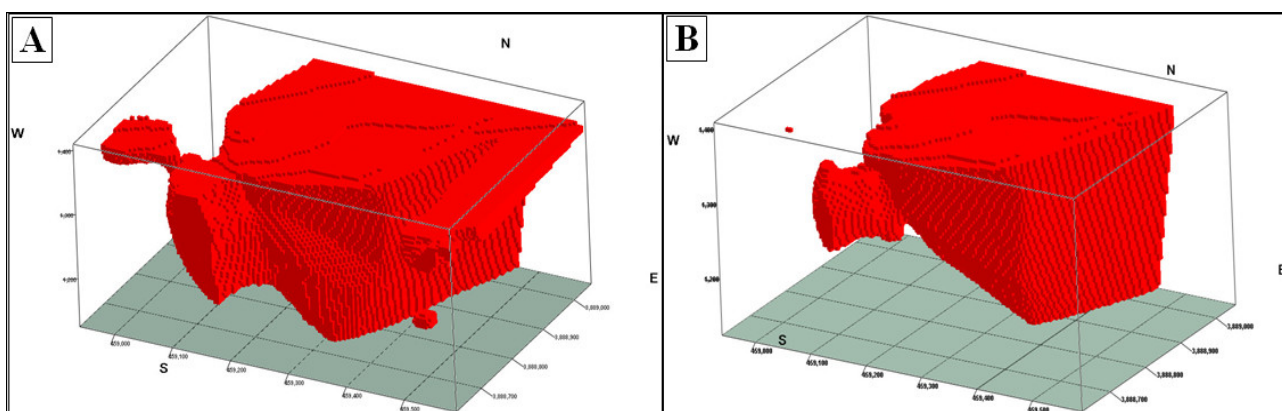
نامنظمی هستند. برای تخمین ذخیره در ست توده‌های کانساری بهویژه با شکل‌های هندسی نامنظم، در بسیاری از موارد لازم است که ابتدا مدل صلب (جامد) کانسار ایجاد شود و سپس

تخمین ذخیره از طریق منوی I-Data

در این روش، برای محاسبه ذخیره، مدل بلوکی کانسار ساخته می‌شود. معمولاً توده‌های کانساری دارای شکل‌های هندسی

به عنوان نمونه، مدل بلوکی کانسار به ازای عیار حد های ۱۰۰۰ و ۳۰۰۰ گرم در تن، در شکل ۹ نشان داده شده است. این مدل بلوکی با استفاده از مقادیر کمینه و بیشینه آماره های طول و عرض جغرافیایی و ارتفاع داده های عیار سنجی گمانه های اکتشافی محدوده و بر اساس قاعده بولین یعنی در نظر گرفتن ۱ برای کانه (مقادیر بزرگتر یا مساوی عیار حد) و صفر برای باطله (مقادیر کوچکتر از عیار حد) ساخته شده است. در مدل بلوکی شکل A، اندازه و ابعاد محدوده غربی ماده معدنی A-۹ نسبت به محدوده شرقی در مقایسه با مدل بلوکی شکل ۹ به مراتب کوچکتر شده و در حال محوشدن است. نتایج محاسبه میزان حجم و ذخیره ماده معدنی با استفاده از مدل بلوکی به ازای عیارهای حد مختلف در جدول ۱ خلاصه شده است. در این جدول عیار متوسط بروش میانگین گیری وزن دار داده های عیار سنجی گمانه ها بر اساس طول مغزه های حفاری، محاسبه شده است.

بلوک بندی کانسار صورت گیرد. به عبارت دیگر، شکل هندسی نامنظم باید به صورت شکل هندسی منظم تبدیل شود تا محاسبه دقیق حجم امکان پذیر شود. یک مدل بلوکی از یک گروه بلوک های منظم تشکیل می شود که به هریک ویژگی هایی از قبیل عیار و یا کدهای مشخصاتی دیگر نسبت داده می شود. پس در مراحل بعد با استفاده از مدل بلوکی ایجاد شده، تخمین میزان عیار و ذخیره کانسار صورت می گیرد. تمامی مراحل این فرایند برای کانسار مس نارbaghi شمالی برای شش عیار حد ۱۰۰۰، ۲۵۰۰، ۳۵۰۰ و ۴۰۰۰ گرم در تن (با در نظر گرفتن شرایط مختلف اقتصادی روز و آینده) انجام شد. برای ساخت مدل بلوکی کانسار نیز ابعاد بلوک ها برابر با $5 \times 5 \times 5$ متر (با حجم ۱۲۵ متر مکعب) در نظر گرفته شد. این ابعاد بر اساس نوع ماده معدنی (مس)، وضعیت و اطلاعات اکتشافی کانسار و در نظر گرفتن شرایط استخراج انتخاب شد.



شکل ۹. مدل بلوکی کانسار مس نارbaghi شمالی به ازای عیارهای حد A: ۱۰۰۰ و B: ۳۵۰۰ گرم در تن

Fig. 9. Block model of the North-Narbaghi copper deposit for cut-off grades of A: 1000, and B: 3500ppm

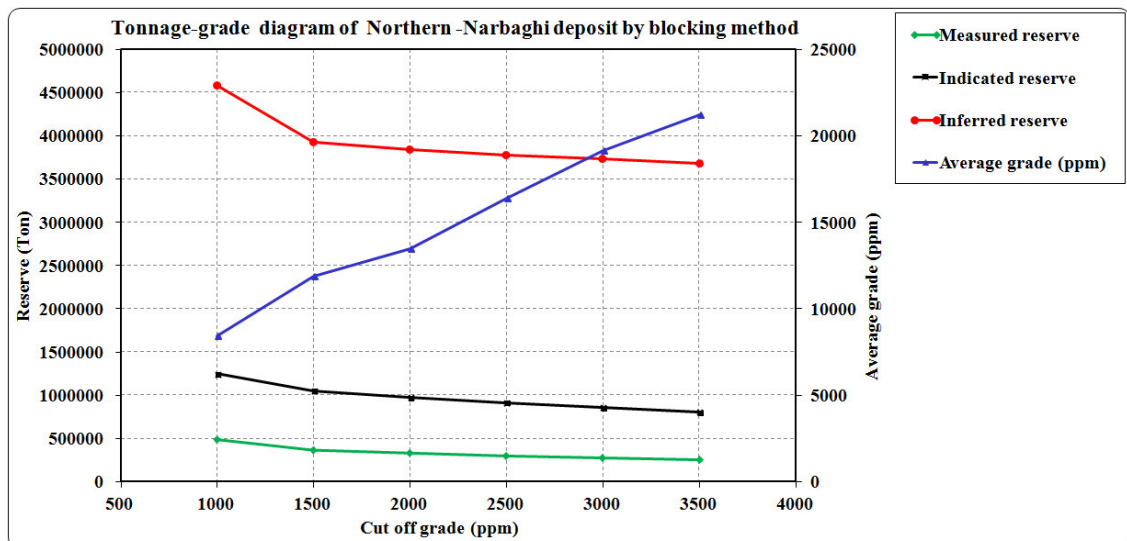
کانسار قدری بیشتر از مقدار واقعی تخمین زده می شود. به ویژه این موضوع در مورد کانسارهای فلزی کم عیار همانند مس پورفیری بیشتر نمود پیدا می کند.

شکل ۱۰ نیز نمودار عیار- تناژ کانسار مس نارbaghi شمالی به روش بلوک بندی با استفاده از نرم افزار RockWorks از طریق منوی I-Data را نشان می دهد. اشکال این روش آن است که به دلیل اختلاط ماده معدنی با باطله در بلوک ها، میزان ذخیره

جدول ۱. نتایج تخمین ذخیره کانسار مس نارباغی شمالی به روش بلوک‌بندی با استفاده از نرم‌افزار RockWorks

Table 1. The results of reserve estimation for the North-Narbaghi copper deposit by blocking method using RockWorks software

Cut off grade (ppm)	Average grade (ppm)	Weight of categorized mineral deposit (ton)		
		Measured reserve	Indicated reserve	Inferred reserve
1000	8409.2	477496.8	1247586.8	4574264.8
1500	11874	370337.0	1054236.5	3936773.5
2000	13462	334098.5	975862.0	3843460.3
2500	16370	306836.8	916171.5	3784067.0
3000	19133.7	281926.8	859759.8	3735903.5
3500	21215.5	258143.3	806825.3	3691317.0



شکل ۱۰. نمودار عیار-تباذ کانسار مس نارباغی شمالی به روش بلوک‌بندی با RockWorks از طریق منوی I-Data

Fig. 10. Tonnage-grade diagram of the North-Narbaghi copper deposit by blocking method through I-Data menu in RockWorks

به کمک الگوریتم‌های مختلف شبکه‌بندی (همانند کریجنگ، عکس فاصله، مثلث‌بندی، نزدیک‌ترین نقطه و غیره که توسط کاربر انتخاب می‌شود)، یک شبکه دوبعدی از ضخامت ماده معدنی، ایجاد شده و با توجه به ضخامت ماده معدنی در شبکه، حجم محاسبه می‌شود. دقت حجم محاسبه شده به شدت به فاصله

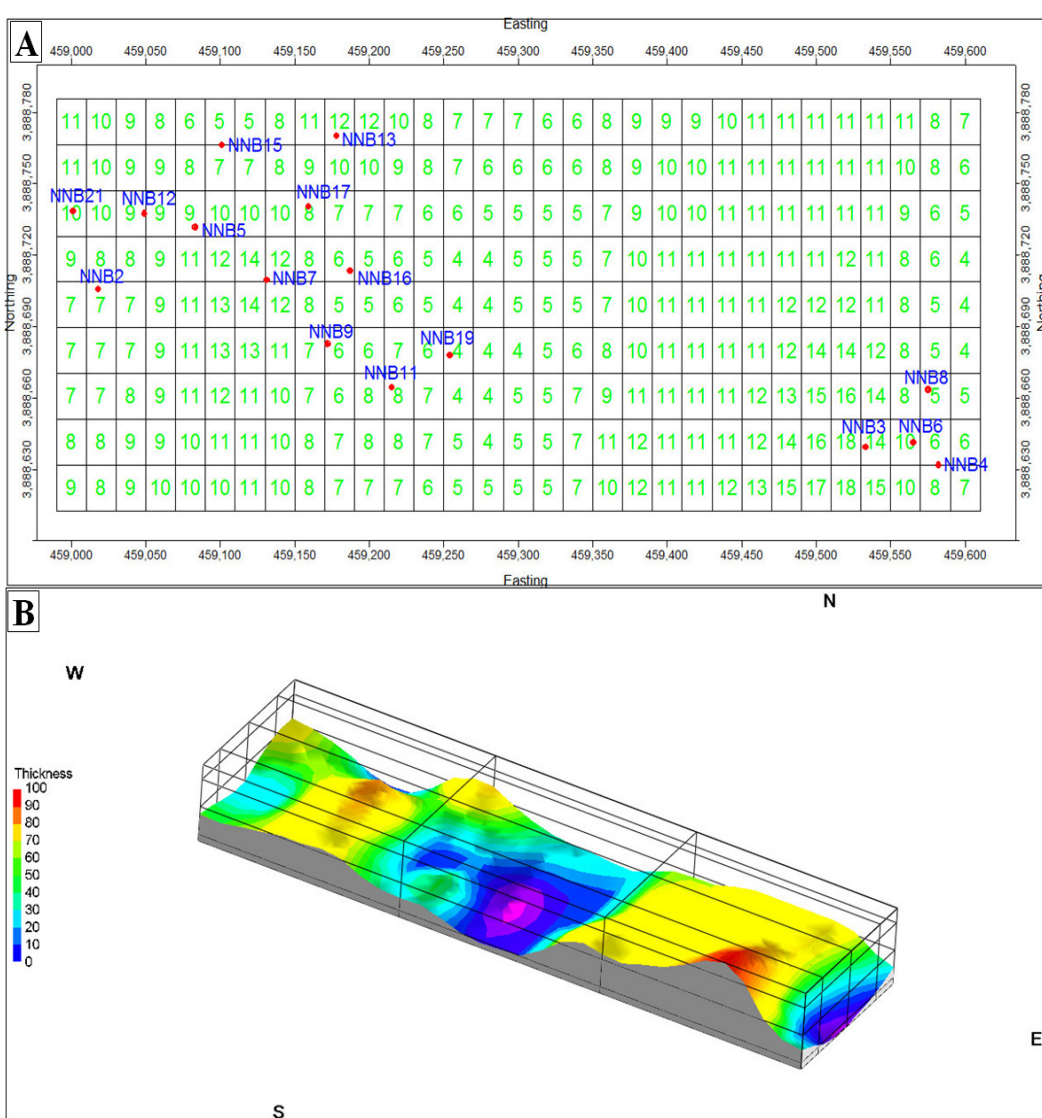
تخمین ذخیره به روش مدل شبکه دوبعدی (Grid 2D Model)

در روش مدل شبکه دوبعدی حجم ماده معدنی از طریق شبکه‌بندی ضخامت ماده معدنی محاسبه می‌شود. به این صورت که با استفاده از اطلاعات ضخامت ماده معدنی در گمانه‌ها،

سلول نیز با روش سعی و خط، عدد سه انتخاب شد. به عنوان نمونه در شکل A-11 و B، به ترتیب شبکه‌بندی دو بعدی و سه بعدی ضخامت ماده معدنی به ازای عیار حد ۱۰۰۰ گرم در تن برای منطقه مورد بررسی نشان داده شده است. در شکل A-11 اعداد سبز رنگ داخل هر سلول، مقدار عددی ضخامت ماده معدنی تخمینی برای آن سلول است.

آن مؤلفه حجم از گمانه وابسته است.

برای تخمین ذخیره کانسار مورد بررسی از الگوریتم شبکه‌بندی (درون‌یابی) کریجینگ استفاده شد. در این روش بر اساس فاصله متوسط گمانه‌ها از یکدیگر و لحاظ کردن بیشینه یک چهارم فاصله بین گمانه‌ها برای ابعاد بلوک در راستای افق و طول غالب دو متري مغزه‌های حفاری در راستای عمقي، ابعاد سلول‌ها ۲۰×۲۰×۲۰ متر و تعداد داده‌های شرکت‌کننده در تخمین هر



شکل ۱۱. نمایش شبکه‌بندی A: دو بعدی و B: سه بعدی ضخامت ماده معدنی کانسار مس نارباغی شمالی به ازای عیار حد ۱۰۰۰ گرم در تن با روش تخمین ذخیره مدل شبکه دو بعدی

Fig. 11. Gridding depict of A: 2D, and B: 3D thickness of the North-Narbaghi copper deposit for cut-off grade of 1000ppm with the reserve estimation method of 2D (Grid Model)

تخمین زده شده و در نتیجه حضور ماده معدنی را نشان می‌دهند که غیرواقعی هستند. این روش تخمین برای کانسارهای مناسب است که محدوده آنها به صورت شکل هند سی منظم مربعی یا مستطیلی بوده و با یک شبکه اکتشاف مربعی یا مستطیلی، اکتشاف شده باشند.

نتایج تخمین ذخیره منطقه با این روش در جدول ۲ خلاصه شده است. مطابق شکل ۱۱ و داده‌های جدول ۲ مشاهده می‌شود که عیار متوسط و ذخیره ماده معدنی با این روش قدری بیشتر از مقدار واقعی، برآورد می‌شود. دلیل این امر آن است که در محدوده‌هایی که هیچ گونه گمانه‌ای حفر نشده و در نتیجه اطلاعات اکتشافی (ضخامت ماده معدنی) ندارند نیز سلول‌ها

جدول ۲. نتایج تخمین ذخیره کانسار مس نارباغی شمالی با روش مدل شبکه دوبعدی در نرم‌افزار RockWorks

Table 2. The results of reserve estimation for the North-Narbaghi copper deposit by 2D (Grid Model) method in RockWorks software

Cut off grade (ppm)	Average grade (ppm)	Total volume of mineral deposit (m ³)	Total weight of mineral deposit (ton)	Weight of categorized mineral deposit (ton)		
				Measured reserve	Indicated reserve	Inferred reserve
1000	8409.2	937282	2483799	520554.4	1143332.9	819913.6
1500	11874	813570	2155963	418656.2	1014841.2	722466.5
2000	13462	751565	1991648	338094.7	948258.1	705296.9
2500	16370	728489	1930497	305264.3	941516.4	683717.4
3000	19133.7	682672	1809083	276614.4	920596.7	611873.0
3500	21215.5	637323	1688908	254930.0	891174.3	542804.5

که حاصل ضرب عیار در ضخامت ماده معدنی و به اختصار GT^۱ است (Madani, 1995)، استفاده می‌شود. برای این مؤلفه نیز یک مقدار حداقل قابل قبول که آستانه انباشتگی نامیده می‌شود، تعیین می‌شود. انتخاب مقدار این مؤلفه نه تنها به وضعیت کانسار بلکه به امکانات استخراج نیز بستگی دارد.

روش تخمین ذخیره با استفاده از مدل بلوکی عیار-

شبکه انباشتگی

در این روش، مقادیر ورودی، داده‌های موقعیت مکانی (مختصات X و Y) تمام گمانه‌ها، مدل سه‌بعدی (جامد)

شکل ۱۲ نیز نمودار عیار-تناز کانسار با روش مدل شبکه دوبعدی در نرم‌افزار RockWorks را نشان می‌دهد. بر اساس داده‌های جدول ۲ و نمودار شکل ۱۲، میزان ذخیره قطعی، احتمالی و ممکن با افزایش عیار حد، کاهش می‌یابد و البته مطابق انتظار، میزان ذخیره قطعی به ازای عیارهای حد مختلف، از ذخایر احتمالی و ممکن کمتر است.

محاسبه ذخیره با استفاده از مؤلفه انباشتگی

برای ارزیابی ذخیره یک کانسار، گاهی اوقات مؤلفه عیار حد به تنهایی کافی نیست و از مؤلفه دیگری به نام تجمع یا انباشتگی^۲

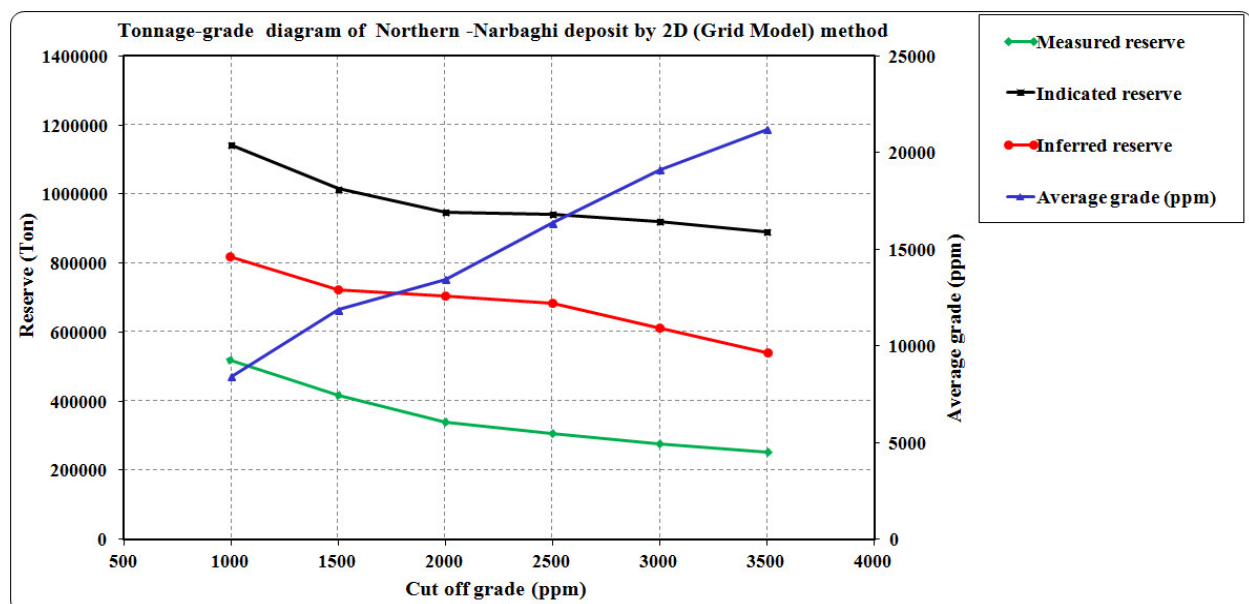
1. Accumulation

2 Grade×Thickness

قابل قبول) تعریف شده توسط کاربر پایین تر باشد، برنامه مقدار شبکه مربوطه را صفر قرار می‌دهد. برای انتخاب درست کمترین مقدار انباشتگی قابل قبول در برنامه آگاهی از وضعیت آماری طول مغزه‌های حفاری گمانه‌های اکتشافی منطقه مورد بررسی ضروری است. شکل ۱۳، هیستوگرام طول مغزه‌های حفاری گمانه‌های کانسار مس نارباغی شمالی را نشان می‌دهد. مؤلفه‌های آماری مربوط به طول مغزه‌ها نیز در جدول سمت راست شکل، آورده شده است. همان‌گونه که مشاهده می‌شود، کمترین و بیشترین مقادیر طول مغزه‌ها به ترتیب برابر با ۰/۱ و ۶ متر هستند. بر این اساس مثلاً با در نظر گرفتن کمترین مقدار عیار حد مورد استفاده در این پژوهش یعنی ۰/۰ درصد (۱۰۰۰ گرم در تن) با فرض آنکه مغزه با طول ۰/۱ متر، ماده معدنی باشد، برای آنکه طول ۰/۱ متر هم جزو ذخیره محسوب شود، مقدار حد آستانه پایین برای تخمین انباشتگی سلول‌های شبکه، $(0/1 \times 0/01)$ متر-درصد (m%) در نظر گرفته می‌شود.

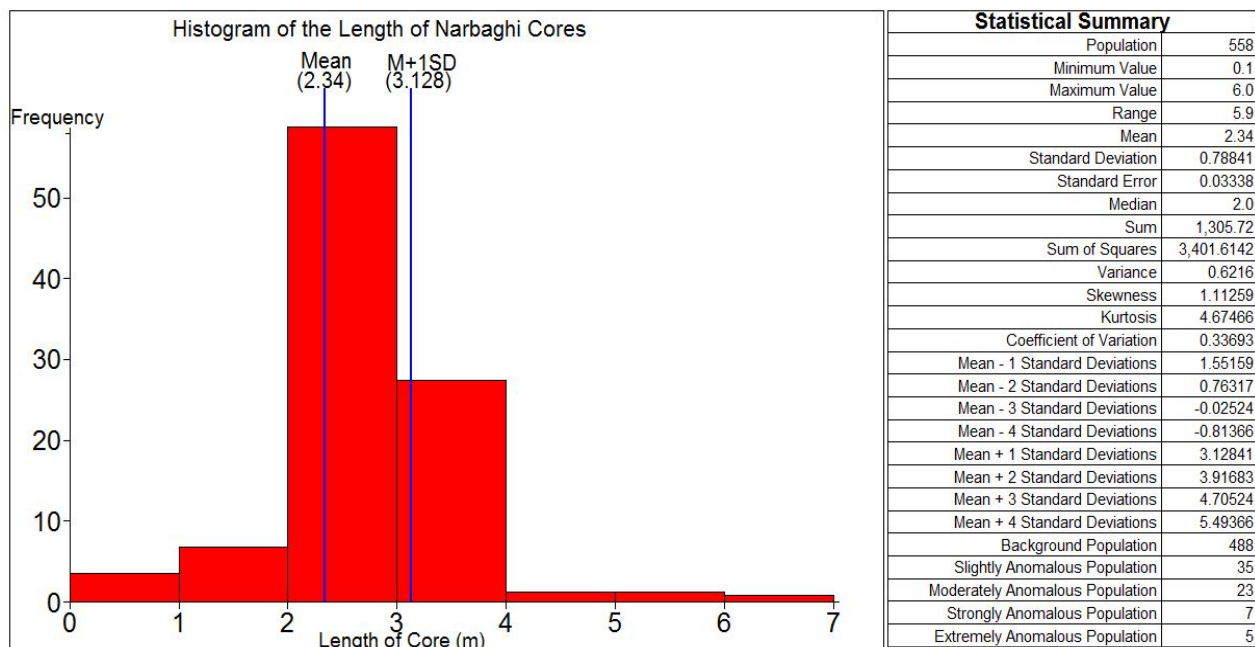
عيار سنگی ماده معدنی بر حسب درصد، کمترین مقدار قابل قبول عیار و کمترین مقدار قابل قبول انباشتگی است. برنامه، یک شبکه و در نتیجه نقشه‌های دو بعدی و سه بعدی منحنی‌های میزان (خطوط کانتوری) انباشتگی ماده معدنی را تولید می‌کند. در نقشه‌های تولیدی، نواحی با مقادیر بالا نشان‌دهنده زون‌های کانه‌زایی ضخیم با عیار پایین یا زون‌های کانه‌زایی نازک با عیار بالا هستند.

فرایند انجام عملیات به این صورت است که برای هر ستون از سلول‌های درون مدل عیاری اولیه، مجموع مقادیر انباشتگی سلول‌ها، محاسبه شده است و به عنوان مقدار انباشتگی درون مدل شبکه، ذخیره می‌شود. این مقادیر انباشتگی سلولی، با ضرب کردن مقدار عیار در ضخامت (ارتفاع) سلول محاسبه می‌شوند. اگر مقدار عیار یک سلول از مقدار حد آستانه‌ای (مقدار حداقل عیار قابل قبول) تعریف شده توسط کاربر کمتر باشد، مقدار سلول در مجموع کل، منظور نخواهد شد. اگر مقدار مجموع نهایی، از حد آستانه‌ای (حداقل مقدار انباشتگی



شکل ۱۲. نمودار عیار- تناز کانسار مس نارباغی شمالی با روش مدل شبکه دو بعدی در نرم افزار RockWorks

Fig. 12. Tonnage-grade diagram of the North-Narbaghi copper deposit with 2D (Grid Model) method in RockWorks software



شکل ۱۳. هیستوگرام طول مغزه‌های کانسار مس نارباغی شمالی (بر حسب متر) همراه با مؤلفه‌های آماری مربوطه

Fig. 13. Histogram of drill core length of the North-Narbaghi copper deposit (in meter) with the relevant statistical parameters

معدنی (بر حسب درصد) مغزه‌های گمانه‌های اکتشافی و نیز عیار پایین حد آستانه انباستگی^۱ است. خروجی برنامه نیز یک شبکه و در نتیجه نقشه دوبعدی منحنی‌های میزان از ویژگی‌های ماده معدنی (همانند ضخامت، عیار ماده معدنی و انباستگی) است. برای هر سلول درون مدل اولیه، میانگین حسابی و میانگین وزن‌دار ویژگی‌های ماده معدنی (ضخامت، عیار ماده معدنی و انباستگی) محاسبه می‌شود. اگر برای هر سلول، مقدار عیار سلول از مقدار عیار پایین حد آستانه انباستگی تعریف شده توسط کاربر کمتر باشد، مقدار سلول صفر منظور می‌شود. در این پژوهش، ابعاد سلول‌های ایجاد شده برای این منظور 10×10 متر است و برای تخمین مقادیر ویژگی‌های هر سلول شبکه، از روش تخمین کریجینگ استفاده شد که تعداد داده‌های شرکت‌کننده در تخمین هر سلول نیز بر اساس روش سعی و خطا عدد است. مقدار ذخیره تخمینی و طبقه‌بندی شده در رده ۳۰ فاصله‌ای اندازه‌گیری شده، نشان‌داده شده و استنتاج (استنباط) شده، بر اساس فاصله‌های حدی به ترتیب ۵۰، ۱۳۰ و ۴۳۳ متر

کمترین مقادیر قابل قبول برای عیار کانسار مورد بررسی، به ازای شش مقدار عیار حدی تعریف شده $0/1$ ، $0/2$ ، $0/15$ ، $0/25$ ، $0/3$ و $0/35$ درصد و آستانه انباستگی نیز به صورت متناظر با کمترین مقادیر قابل قبول عیار ضرب در حداقل مقدار طول مغزه ($1/1$ متر) به ترتیب برابر با $0/01$ ، $0/02$ ، $0/015$ ، $0/025$ و $0/035$ متر-درصد تعریف شد. در تمام موارد ابعاد سلول‌های شبکه اولیه 10×10 متر انتخاب شد. به عنوان نمونه در شکل ۱۴ و A-B، نقشه‌هایی به ترتیب دوبعدی و سه‌بعدی هم‌انباستگی ماده معدنی کانسار مس نارباغی شمالی به ازای کمترین مقادیر قابل قبول عیار $1/0$ درصد و انباستگی نظیر آن یعنی $0/01$ متر-درصد نشان داده شده است.

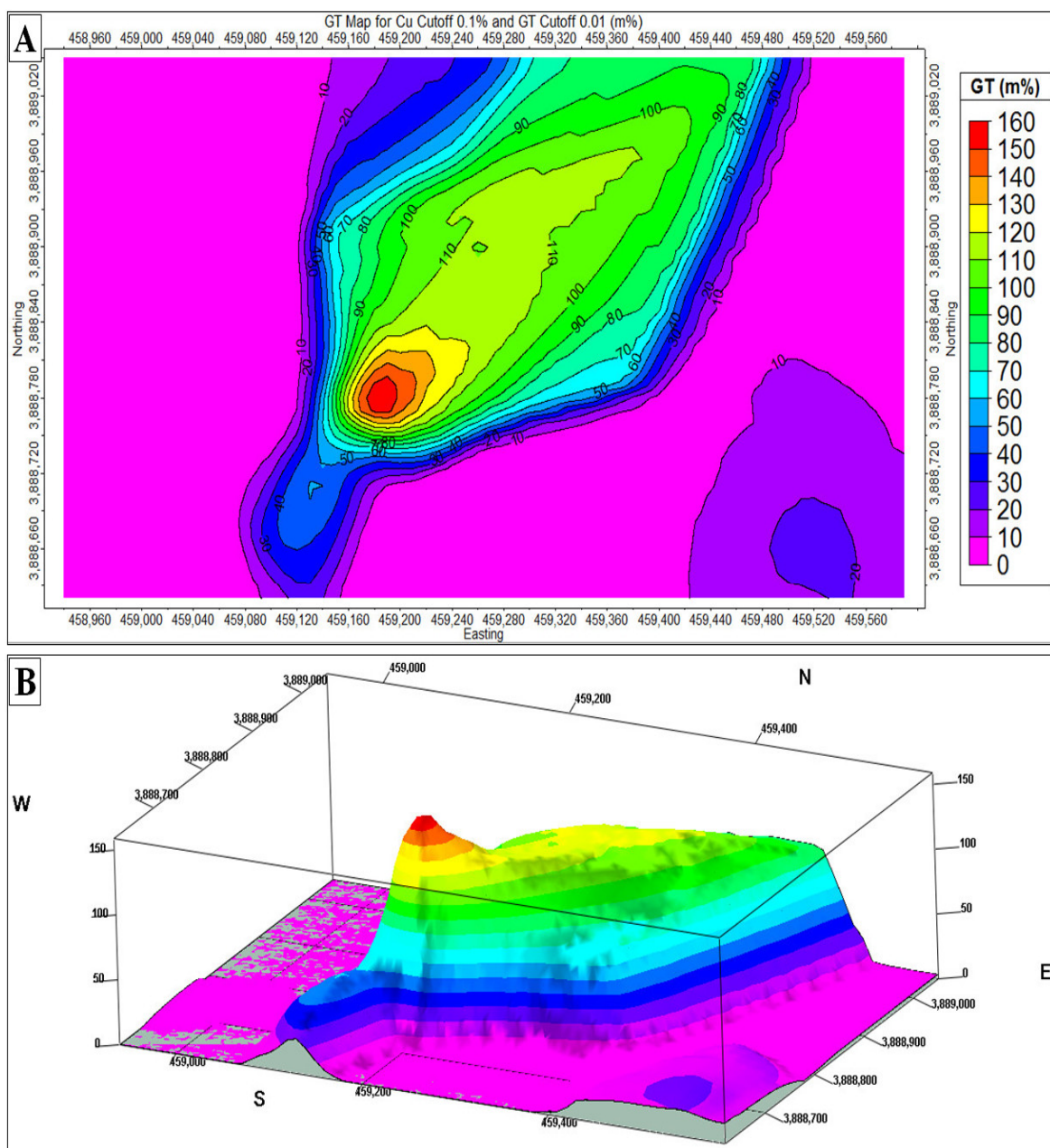
نتایج تخمین ذخیره منطقه با روش انباستگی دوبعدی (2D GT)

در این روش مقادیر ورودی، داده‌های موقعیت مکانی (مختصات X و Y) تمام گمانه‌ها، ضخامت (بر حسب متر) و عیار ماده

1. "Low-Grade" GT Cutoff

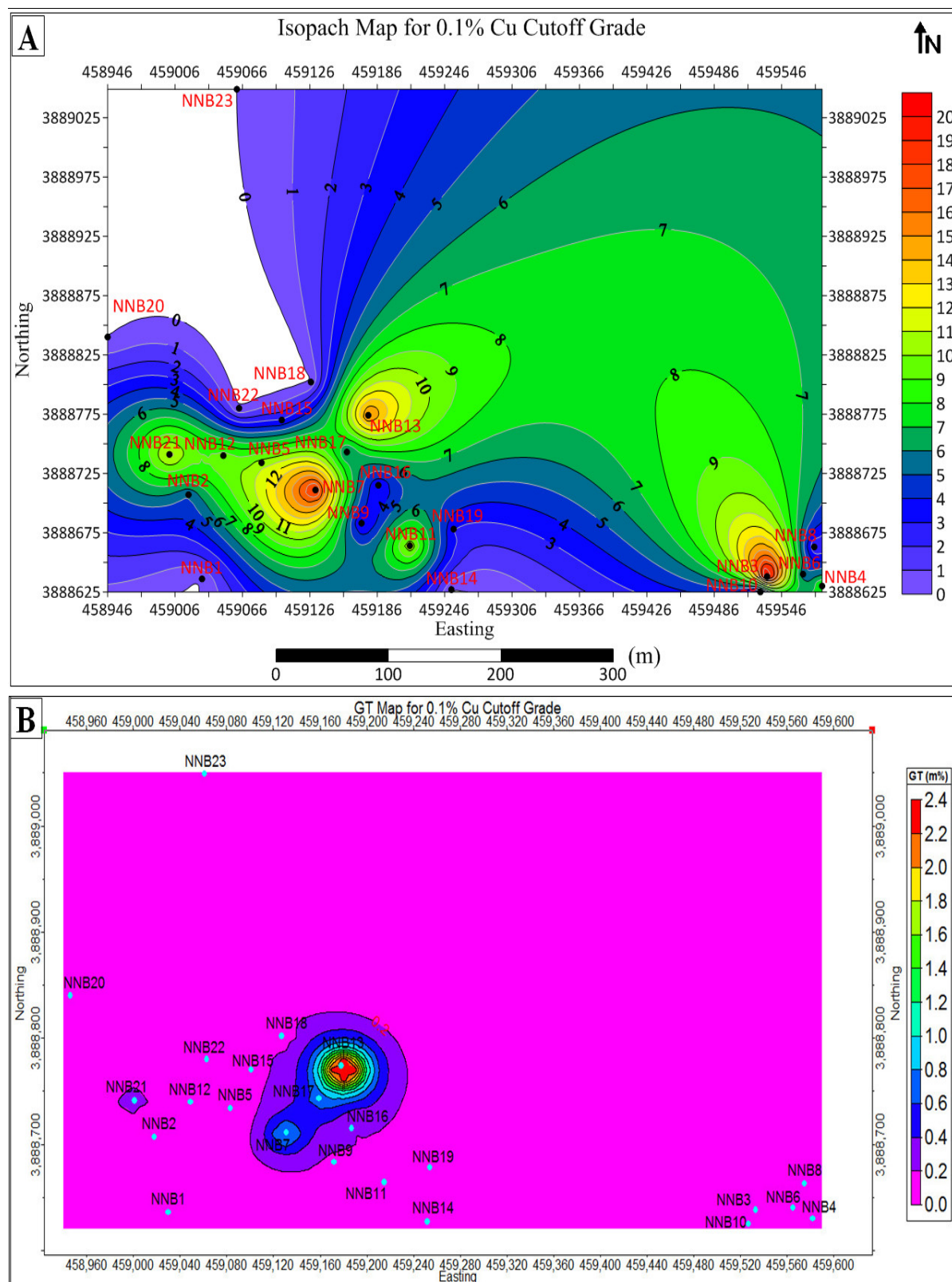
جدول ۳ نیز مؤلفه‌های ذخیره معدنی محاسبه شده به ازای عیارهای حد مختلف خلاصه شده است.

محاسبه شده است. به عنوان نمونه در شکل A-۱۵ و B به ترتیب نقشه‌های هم‌ضخامت و همانباشتگی ماده معدنی کانسار مس نارباغی شمالی به ازای عیار حد 10% درصد ترسیم شده است. در



شکل ۱۴. نقشه A: دو بعدی و B: سه بعدی همانباشتگی ماده معدنی کانسار مس نارباغی شمالی به ازای کمترین مقدار قابل قبول عیار و انباشتگی به ترتیب برابر با 10% درصد و $0.01\text{m}\%$ -درصد

Fig. 14. A: 2D and B: 3D mineral deposit accumulation map of the North-Narbaghi copper deposit for the minimum acceptable value of grade and accumulation equal to 0.1% and 0.01m% respectively



شکل ۱۵. نقشه A: هم‌ضخامت و B: هم‌اضمانتگی ماده معدنی کانسار مس نارباغی شمالی به ازای عیار حد ۱/۰ درصد (۱۰۰۰ گرم در تن)

Fig. 15. A: isopach and B: accumulation maps of the North-Narbaghi copper deposit (up to down respectively) for cut-off grade of 0.1% (1000ppm)

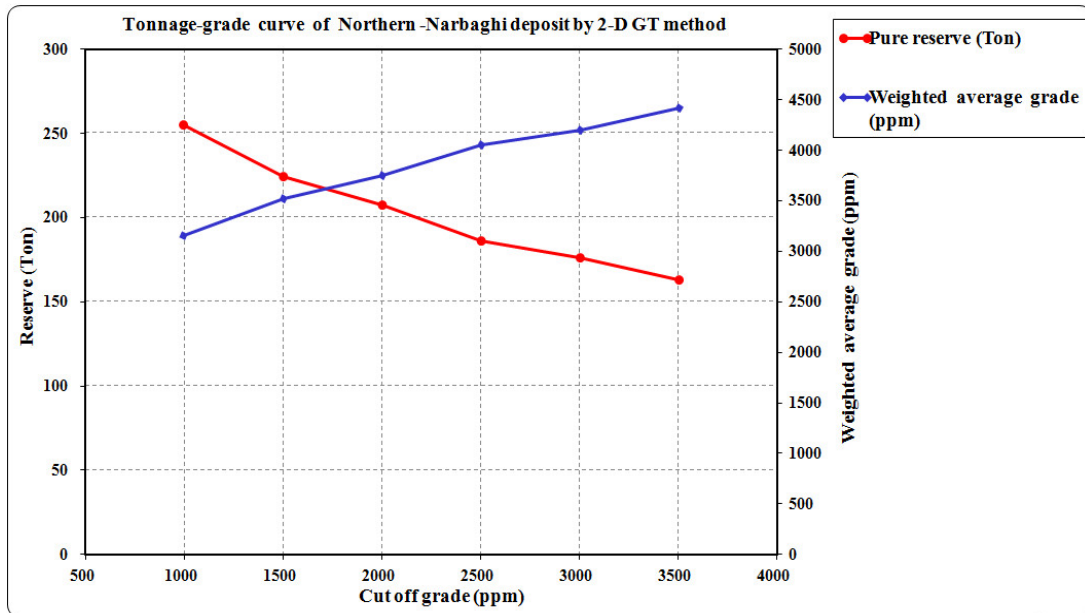
جدول ۳. مؤلفه‌های ذخیره معدنی کانسار مس نارباغی شمالی، محاسبه شده به ازای عیارهای حد مختلف با روش انباشتگی دو بعدی در نرم‌افزار RockWorks

Table 3. The ore reserve parameters of the North-Narbaghi copper deposit calculated for the various cut-off grades through 2D GT method in RockWorks

Parameter	Cut off grade (%)	Weighted mean thickness (m)	Weighted mean grade (%)	Weighted mean accumulation (m%)	Volume of mineral deposit (m ³)	Net weight of mineral deposit (ton)
Estimation category						
Measured (0-50m)	0.1	2.37	0.316	0.75	63437.8	255.081
Indicated (50-130m)		1.27	0.121	0.154	4894.3	14.876
Measured (0-50m)	0.15	2.39	0.352	0.842	41442.3	223.636
Indicated (50-130m)		1.3	0.142	0.185	2056.9	7.651
Measured (0-50m)	0.2	2.4	0.375	0.901	33269.3	206.803
Indicated (50-130m)		1.42	0.16	0.227	568.9	2.402
Measured (0-50m)	0.25	0.978	0.405	2.42	25156.9	185.880
Measured (0-50m)	0.3	2.42	0.42	1.017	22186.5	176.243
Measured (0-50m)	0.35	2.45	0.442	1.081	18764.8	162.533

هیچ ذخیره‌ای در رده استنتاج شده و به ازای مقادیر عیار حد بالا، هیچ ذخیره‌ای حتی در رده نشان داده شده، وجود ندارد که بیانگر حساسیت این روش به درجه اعتبار ذخیره است. شکل ۱۶ نیز نمودار عیار-تناز ذخیره خالص ماده معدنی اندازه‌گیری شده مس نارباغی شمالی ساوه با روش انباشتگی دو بعدی در نرم‌افزار RockWorks را نشان می‌دهد. در این نمودار میزان عیار حد و عیار متوسط وزن‌دار بر حسب گرم در تن هستند.

در محاسبه ذخیره ماده معدنی با روش انباشتگی دو بعدی، خروجی نرم‌افزار، قدری با روش‌های دیگر متفاوت است. در این روش میزان ذخیره خالص ماده معدنی برای سه رده اندازه‌گیری شده، نشان داده شده و استنتاج شده محاسبه می‌شود. در محاسبه ذخیره با این روش برای منطقه مورد بررسی، هیچ مقداری برای ذخیره رده استنتاج شده، محاسبه نشده و با افزایش مقدار عیار حد، برای ذخیره رده نشان داده شده نیز مقداری محاسبه نشده است. به عبارت دیگر، با این روش به ازای مقادیر عیارهای حد مختلف،



شکل ۱۶. نمودار عیار- تناز کانسار مس نارباغی شمالی با روش ابانتگی دو بعدی در نرم افزار RockWorks

Fig. 16. Tonnage-grade diagram of the North-Narbaghi copper deposit by 2D GT method in RockWorks software

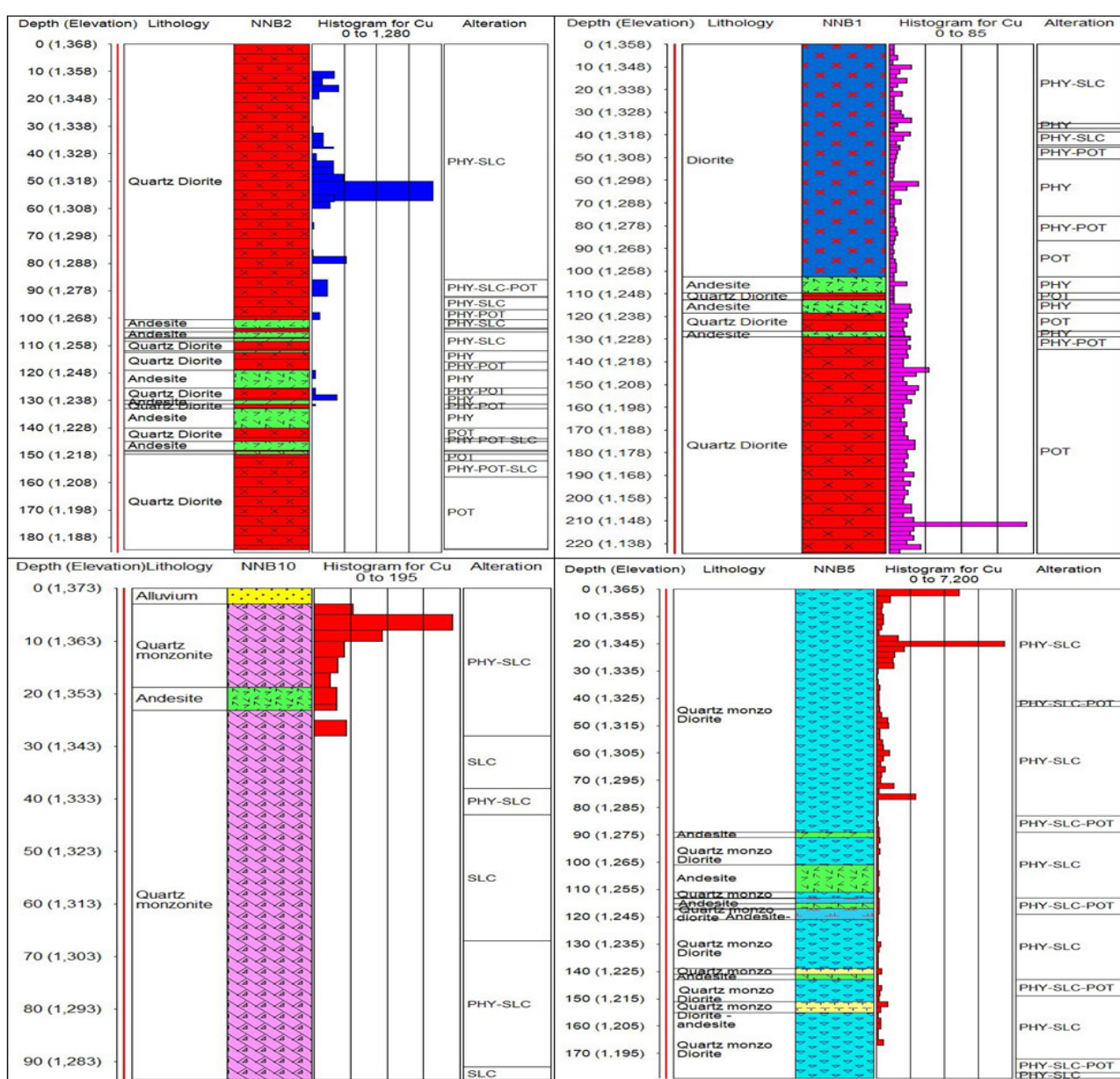
در گمانه NNB1 از سطح زمین تا اعماق، در جنس‌های سنگ‌شناختی مختلف، ماده معدنی وجود دارد. عیار ماده معدنی در این گمانه بسیار پایین است؛ ولی با افزایش عمق، در فاصله عمقی مربوط به جنس سنگ‌شناختی کوارتزدیوریت همراه با دگرسانی پتساسیک، میزان عیار نیز افزایش می‌یابد و به پیشینه مقدار ۸۰/۷ گرم در تن می‌رسد. در گمانه NNB2 در فاصله عمقی صفر تا ۱۰۰ متری با جنس سنگ‌شناختی کوارتزدیوریت، تغییرات عیار مس از سطح تا عمق با یک توزیع نرمال تغییر می‌کند؛ ولی در اعماق پیش از ۱۵۰ متر، اندازه‌گیری عیار مس برای بسیاری از مغزه‌ها انجام نشده است. به هرجهت انتظار می‌رود که عیار ماده معدنی در اعماق پیش از ۱۵۸ متر در جنس سنگ کوارتزدیوریت همراه با دگرسانی پتساسیک، نسبتاً بالا باشد. بیشترین مقدار عیار مس در این گمانه، ۱۲۰۰ گرم در تن در عمق حدود ۵۲ متری است. در گمانه NNB5 در فاصله عمقی صفر تا ۷۷ متری با جنس سنگ‌شناختی کوارتزمونزودیوریت، ماده معدنی وجود دارد که پیشینه عیار آن به ۶۷۰ گرم در تن می‌رسد. به عبارت دیگر، در این گمانه

بحث و نتیجه‌گیری

در این پژوهش، مدل‌سازی کمی سه‌بعدی زمین‌شناسی (سنگ‌شناختی، دگرسانی)، کانی‌زایی (عیارسنجی) و ذخیره معدنی کانسار مس نارباغی شمالی ساوه، با استفاده از اطلاعات چاهنگار گمانه‌های اکتشافی و عیارسنجی مغزه‌های حفاری آنها با استفاده از قابلیت‌های مختلف نرم افزار RockWorks انجام شد. برای بررسی میزان تطابق کیفی سنگ میزبان کانی‌زایی مس با داده‌های عیارسنجی عملیات حفاری به ویژه در اعماق، چاهنگار تمام گمانه‌های اکتشافی منطقه مورد بررسی، ترسیم شد که به عنوان نمونه در شکل ۱۷، تعدادی از آنها آورده شده است. در این چاهنگارها علاوه بر ستون سنگ‌شناختی، ستون دگرسانی و هیستوگرام تغییرات عمقی عیارسنجی مس (برحسب گرم در تن) نیز نشان داده شده است. طبق این شکل از لحاظ سنگ‌شناختی گمانه‌ها اغلب از آبرفت، کوارتزدیوریت، سنگ‌شناختی گمانه‌ها اغلب از آبرفت، کوارتزدیوریت، کوارتزمونزونیت، آندزیت و برخی سنگ‌های دیگر تشکیل شده‌اند. دگرسانی‌های سطحی در اغلب گمانه‌ها نیز از نوع فیلیک-سیلیسی است.

سیلیسی) با مغزه‌های اعمق کمتر، عیار ماده معدنی در اعمق زیاد در جنس سنگ کوارتز مونزونیت هم اندازه‌گیری نشده است. با توجه به چاهنگار گمانه‌های شکل ۱۷ و سایر گمانه‌های منطقه (که در اینجا آورده نشده‌اند) مشاهده می‌شود که به طور کلی تطابق کیفی نسبتاً خوبی بین داده‌های عیار سنگی و نوع سنگ شناسی مورد انتظار در اعمق وجود دارد و از این نظر اطلاعات و داده‌های اکتشافی، دارای درستی، لازم هستند.

محیط میزبان بالاترین عیار مس، جنس سنگ از نوع کوارتزمونزودیوریت است و عیار ماده معدنی در سایر انواع سنگ، در این گمانه پایین است. در گمانه NNB10 ماده معدنی فقط در اعماق کم (از عمق ۳ تا ۲۵ متر) در جنس سنگ کوارتزمونزونیت و آندزیت وجود دارد که البته میزان عیار آن نیز پایین است. در این گمانه به دلیل پایین بودن عیار در اعماق کم و تشابه ویژگی های مغزه های عمیق (همراه با دلگرسانی)،

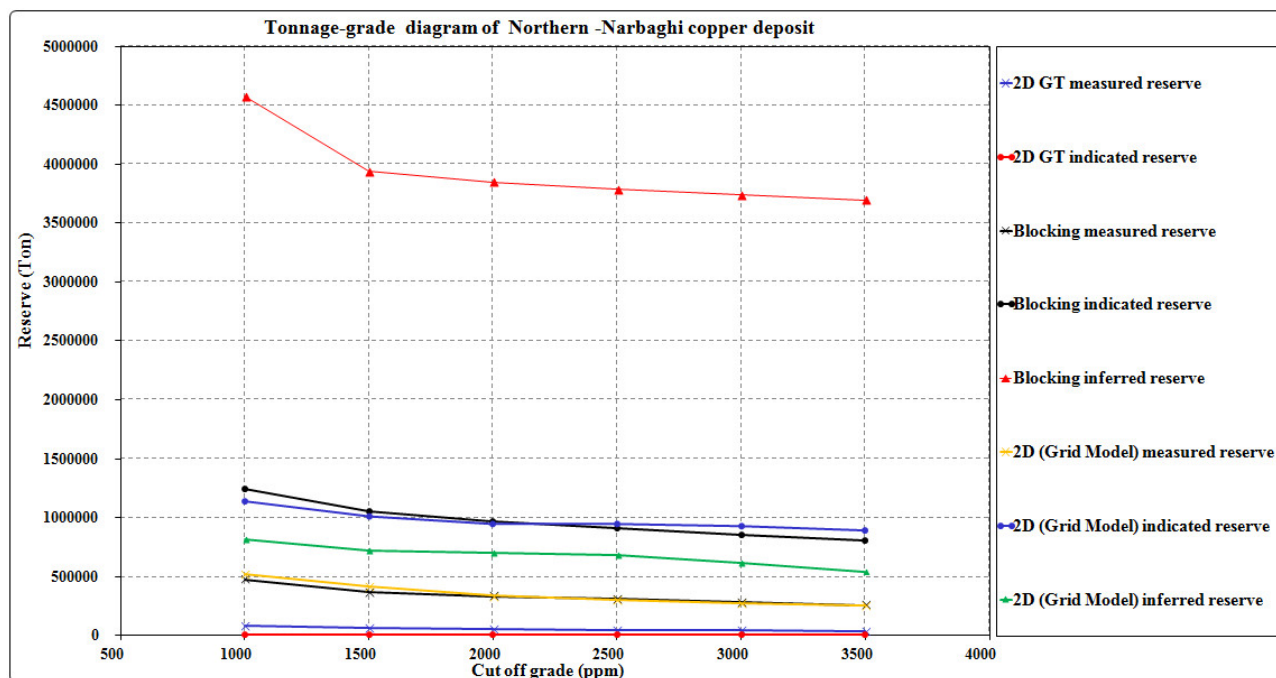


شکل ۱۷. چاهنگار تعدادی از گمانه‌های اکتشافی کانسار مس ناریاغی شمالی

Fig. 17. Striplog of a number of exploration boreholes in the North-Narbaghi copper deposit

نمودارها و کمترین مقدار ذخیره محاسبه شده مربوط به نوع نشان‌داده شده با روش انباشتگی دو بعدی است که نزدیک به محور افقی نمایان شده است. برای محاسبه ذخیره از طریق منوی I-Data مدل بلوکی کانسار ساخته شد. در کنار مزایای زیاد بلوک‌بندی، ایراد این روش آن است که در مورد کانسارهای کم عیار همانند مس نارباغی شمالی، میزان اختلاط کانسنگ و باطله در بلوک‌ها زیاد است و در نتیجه میزان ذخیره کانسارها قدری بیشتر از مقدار واقعی برآورد می‌شود.

نتایج این پژوهش در زمینه مدل‌سازی داده‌های عیار‌سنجی و تخمین ذخیره کانسار مس نارباغی شمالی با استفاده از روش‌های مناسب موجود در نرم‌افزار RockWorks برای شش عیار حد ۳۵۰۰، ۲۵۰۰، ۱۵۰۰، ۱۰۰۰، ۲۰۰۰ و ۳۰۰۰ گرم در تن مطابق شکل ۱۸ نشان می‌دهد که میزان ذخیره محاسبه شده با روش‌های مختلف در این نرم‌افزار یکسان نبوده و در پاره‌ای از موارد با یکدیگر اختلاف زیادی دارند. در این شکل، پیشترین میزان ذخیره محاسبه شده، مربوط به نوع استنتاج شده با روش بلوک‌بندی از طریق منوی I-Data، با فاصله بسیار زیاد از سایر



شکل ۱۸. نمودار عیار- تناز کانسار مس نارباغی شمالی با روش‌های مختلف در نرم‌افزار RockWorks

Fig. 18. Tonnage-grade diagram of the North-Narbaghi copper deposit by the various methods in RockWorks software

انباشتگی دو بعدی، کمبودن خاصیت ماده معدنی در گمانه‌های اکتشافی با توجه به نوع کانسار است. در روش مدل شبکه دو بعدی نیز عیار متوسط و ذخیره ماده معدنی قدری بیشتر از مقدار واقعی، تخمین زده می‌شود. نتایج تخمین ذخیره با دو روش بلوک‌بندی و مدل شبکه دو بعدی به یکدیگر نزدیک‌تر است؛ به گونه‌ای که در شکل ۱۸ نیز نمودارهای ذخیره نوع اندازه گیری شده با دو روش بلوک‌بندی و مدل شبکه دو بعدی به ازای

در محاسبه ذخیره به روش انباشتگی دو بعدی، میزان ذخیره خالص ماده معدنی برای سه رده اندازه گیری شده، نشان‌داده شده و استنتاج شده بر اساس فاصله‌های حدی به ترتیب ۵۰، ۱۳۰ و ۴۳۳ متر محاسبه شد. با این روش محاسبه ذخیره برای منطقه مورد بررسی، هیچ مقداری برای ذخیره رده استنتاج شده، محاسبه نشده که بیانگر حساسیت این روش به درجه اعتبار ذخیره است. علت کمبودن ذخیره محاسبه شده کانسار مورد بررسی با روش

معقول، درست و معتبر با استفاده از نرم‌افزارهای تخصصی، به شدت به دانش و تجربه کاربر وابسته بوده و نتایج با درجه اعتبار بالا با انتخاب روش یا روش‌های مدل‌سازی مناسب و انتخاب مؤلفه‌های درست بدست می‌آید. نتایج این پژوهش به‌ویژه نحوه انتخاب مؤلفه‌های گوناگون در بخش‌های مختلف نرم‌افزار، برای مدل‌سازی دیگر کانسارهای مشابه در کمان ماگمایی ارومیه-دختر قابل تعمیم است. به‌حال، همواره درجه اعتبار عملیات مدل‌سازی و مدل‌های ایجادشده، به‌شدت تابع نوع و میزان اطلاعات اکتشافی موجود است.

قدرتدانی

نویسنده مقاله بر خود لازم می‌داند از مدیر عامل محترم شرکت زاگرس مس‌سازان و کلیه پرسنل مجتمع معدنی مس نارباغی، به خاطر همکاری‌های ارزنده در خصوص زمینه‌سازی امکان بازدید از محدوده، نمونه‌برداری و در اختیار قراردادن کلیه اطلاعات و داده‌های اکتشافی مورد نیاز، کمال تقدیر و تشکر را به عمل آورد.

عيارهای حد بیش از ۲۰۰۰ گرم در تن بر یکدیگر مطابق شده است.

به‌طور کلی روش‌های تخمین ذخیره منطقه مورد بررسی در این پژوهش از نظر میزان دقت از زیاد به کم بهتر تیپ عبارتند از روش انباشتگی دو بعدی، روش بلوک‌بندي از طریق منوی-I و روش مدل شبکه دو بعدی. از آنچهایی که در روش انباشتگی دو بعدی، حاصل ضرب دو ویژگی اساسی کانسار یعنی عیار و ضخامت ماده معدنی به عنوان یک متغیر ترکیبی ارزیابی می‌شود؛ بنابراین دقت این روش از تمام روش‌های موجود در نرم‌افزار RockWorks بیشتر است. بالا بودن دقت روش مورد استفاده از طریق منوی I-Data نیز به دلیل بلوک‌بندي کانسار است.

در مجموع با متوسط‌گیری از میزان ذخیره و عیار متوسط محاسبه شده کانسار توسط روش‌های مورد استفاده، میزان ذخیره کلی کانسار به ازای عیار حد ۰/۱ درصد (۱۰۰۰ گرم در تن) حدود ۵۰۰۰۰ تن با عیار متوسط ۰/۸ درصد برآورد شد. یافته‌های این پژوهش بیانگر آن است که امکان دستیابی به نتایج

References

- Ahmadi, R., 2010. Application of statistical patterns for ore reserve estimation emphasis to Ali-abad, Yazd copper mine. Arak University of Technology, Arak, Report 1, 102 pp. (in Persian with English abstract)
- Ahmadi, R., 2019. Ore reserve evaluation: digital textbook. Arak University of Technology, Arak, 250 pp. (in Persian)
- Ahmadi, R. and Afzali, N., 2017. 3-D modeling of Khomein-Robat Pb-Zn deposit using Rockworks software. 10th National Geology Conference of PNU, Payame Noor University, Tabriz, Iran. (in Persian with English abstract)
- Ahmadi, R. and Rezapour, M.R., 2019. Proposing the optimum locations for drilling in Saveh North-Narbaghi porphyry copper deposit on the basis of geophysical data modeling. Scientific Quarterly of Iranian Association of Engineering Geology, 12(4): 95–121. (in Persian with English abstract)
- Ahmadi, R. and Sadat Koodehi, S.M., 2018. Classification and reserve estimation of Robat Arregije Pb-Zn deposit, Khomein Township, Markazi Province, using geostatistical methods. New Findings in Applied Geology, 12(24): 39–53. (in Persian with English abstract) <https://doi.org/10.22084/NFAG.2018.15657.1296>
- Alavi, M., 1991. Sedimentary and structural characteristics of the paleo-Tethys remnants in Northeastern Iran. Geological Society of

- America Bulletin, 103(8): 983–992.
[https://doi.org/10.1130/0016-7606\(1991\)103<0983:SASCOT>2.3.CO;2](https://doi.org/10.1130/0016-7606(1991)103<0983:SASCOT>2.3.CO;2)
- Annels, A.E., 2012. Mineral deposit evaluation: A practical approach. Springer Science & Business Media, Springer Netherlands, 436 pp.
- Ashrafpour, E., 2010. Geological-mineral deposit map of Northern-Narbaghi, Saveh, Markazi province, scale 1:1000. Zagros Mes Sazan Company.
- Ataeepour, M., 2019. Principles of 2D ore-body modelling. Amirkabir University of Technology (Tehran Poly technique), Tehran, 326 pp. (in Persian)
- Bohling, G., 2007. SGeMS tutorial notes in hydrogeophysics: theory, methods, and modeling. Boise State University, Boise, Idaho, 26 pp.
- Erickson, Jr.A.J., 1992. Geological interpretation, modeling and representation. In: H. Hartman (Editor), SME Mining Engineering Handbook. SME-AIME, New York, pp. 333–343.
- Fazli, N., Ghaderi, M., Lentz, D. and Li, J., 2019. Geology, alteration, mineralization and geochemistry of the North Narbaghi epithermal Ag-Cu deposit, northeast Saveh. Scientific Quarterly Journal, GEOSCIENCES, 28(112): 13–22. (in Persian with English abstract)
<https://doi.org/10.22071/GSJ.2018.97142.1246>
- Ghaderi, M., Fazli, N., Yan, S. and Lentz, G.R., 2016. Fluid inclusion studies on North Narbaghi intermediate sulphidation epithermal Ag-Cu deposit, Urumieh-Dokhtar magmatic arc, Iran. World Multidisciplinary Earth Sciences Symposium (WMESS 2016), Duo hotel, Prague, Czech Republic.
- Goovaerts, P., 1997. Geostatistics for Natural Resources Evaluation. Oxford University Press, Oxford, 483 pp.
- Hassanipak, A.A., 2000. Modeling of metallic and nonmetallic deposits and their exploration application. Tehran University Press, Tehran, 512 pp. (in Persian)
- Madani, H., 1995. Basics of Geostatistics. Amirkabir University of Technology- Tafresh branch, Tafresh, 659 pp. (in Persian)
- Madani, H., 1997. Principles of prospecting, exploration and evaluation of ore reserves. Khane Farhang, Tehran, 816 pp. (in Persian)
- Pichab Kansar consultant engineers Co., 2015. Final report of exploration operation in the region of North-Narbaghi copper deposit. Zagros Mes Sazan Company, Tehran, Report 2, 356 pp. (in Persian)
- Remy, N., Boucher, A. and Wu, J., 2006. SGeMS User's Guide. Stanford University, Stanford, 129 pp.
- Remy, N., Boucher, A. and Wu, J., 2009. Applied Geostatistics with SGeMS: A User's Guide. Cambridge University Press, New York, 284 pp.
- Revuelta, M.B., 2017. Mineral Resources: From exploration to sustainability assessment. Springer International Publishing, Switzerland, 653 pp.
- Stoecklin, J., 1968. Structural history and tectonics of Iran: A Review. American Association of Petroleum Geologists, 25(7): 1229–1258.
<https://doi.org/10.1306/5D25C4A5-16C1-11D7-8645000102C1865D>
- Surur, A.N., 2008. Surveying, modelling and visualisation of geological structures in the Tunberget tunnel. M.Sc. Thesis, KTH Royal Institute of Technology, Stockholm, Sweden, 75 pp.
- Tutorial – RockWare, 2016. 197 pp., Retrieved November 25, 2019 from
https://www.rockware.com/downloads/documentation/rockworks/rw16Tutorial_from_chm.pdf
- Young, D.R., 2008. The effect of ignoring the sample support on the global and local mean grade estimates, mineral resource classification and project valuation of variable width Merensky and UG2 Reef ore bodies. Third International Platinum Conference ‘Platinum in Transformation, The Southern African Institute of Mining and Metallurgy, Sun City, South Africa. Retrieved November 25, 2019 from
https://www.saimm.co.za/Conferences/Pt2008/063-76_Young.pdf

COPYRIGHTS

©2021 The author(s). This is an open access article distributed under the terms of the Creative Commons Attribution (CC BY 4.0), which permits unrestricted use, distribution, and reproduction in any medium, as long as the original authors and source are cited. No permission is required from the authors or the publishers.

**How to cite this article**

Ahmadi, R., 2021. Geological-exploration modeling of the North-Narbaghi copper deposit, Saveh and reserve estimation using blocking, 2D grid model and 2D accumulation approaches. Journal of Economic Geology, 13(2): 435–462. (in Persian with English abstract)
<https://dx.doi.org/10.22067/econg.v13i2.85341>



Geological-exploration modeling of the North-Narbaghi copper deposit, Saveh and reserve estimation using blocking, 2D grid model and 2D accumulation approaches

Reza Ahmadi*

Mining Engineering Department, College of Geosciences Engineering, Arak University of Technology, Arak, Iran

Submitted: Jan. 01, 2020

Accepted: Sept. 07, 2020

Keywords: North-Narbaghi copper deposit Saveh, Geological-exploration modeling, Varigraphy, Ore reserve estimation, Blocking, 2D grid model, 2D accumulation, RockWorks

Introduction

Deposit modeling includes various types of descriptive-genetic, geometric, geostatistical modeling-simulation, economic, and mathematical analyses (Erickson, 1992). In the present study, 3-D geological, mineralization and ore deposit mathematical modeling of the North-Narbaghi copper deposit, Saveh were carried out using various capabilities of the Rockworks software package. The North-Narbaghi exploration area is located in the northeast of the Markazi province, ~26 km northeast of Saveh city, at 1:100,000 Zavieh sheet. The monzogranite-quartzmonzodiorite intrusive bodies are the main host rocks for mineralization in the area. Two main porphyry copper mineralization zones consisting of phyllitic and potassic alterations have been recognized in the area by applying systematic explorations including 23 boreholes (i.e., NNB1 to NNB23) with the total depth of 2425 meters. Five boreholes have been drilled in the eastern stock whereas 18 boreholes are located in the western part. The drillholes range in depth from 52 (e.g., NNB9 borehole) to 224 meters (e.g., NNB1 borehole). A total of 558 drill cores collected from different boreholes were analyzed for their copper and associated elements. The ore grades typically range from 2ppm to 12.2%.

Materials and methods

The RockWorks software package calculates the volume of minerals in two ways; one through the

borehole manager window, the I-data menu, the volumetrics submenu, and four other paths in the utilities window called Ez-volume, 2D (grid model), grade block model grade thickness (GT) grid, and compute grade-thickness volume & mass which comprise subsets of volumetrics main menu. In all cases, the average density of the mineral was considered to be 2.65 g/cm³. Also, the SGeMS software (Remy et al., 2009) outputs were used in order to obtain more accurate estimation of grade and tonnage of the deposit, if required, for estimation of parameters such as search radius. In this research, the values of the search radius corresponding to the measured, indicated and inferred reserve categories were assumed to be 50, 130 and 433 m, respectively. For the North-Narbaghi copper deposit, six cutoff grades of 1000, 1500, 2000, 2500, 3000 and 3500 ppm were defined. In the 2D (grid model) method, the volume of the mineral deposit was calculated by gridding the thickness of the deposit. The cell size of 20*20*2m was selected and the number of data involved to estimate each cell was chosen to be 3 based on the borehole distances and depth of drill cores by trial and error.

To evaluate ore deposits, sometimes accumulation parameter grade-thickness (GT) was used instead of cutoff grade. In this operation, for each column of cells within the primary grade model, the sum of the GT values of the cells were calculated and stored as GT values within the grid model. These values of cellular GT are calculated by multiplying

*Corresponding author Email: rezahmadi@gmail.com

grade by thickness (height) of the cell. If the grade value of a cell is less than the threshold value defined by the user, the value for this cell will not be taken into account in the total summation. If the value of the final sum is lower than the threshold defined by the user, the program will set the value of the relevant grid to zero. The minimum acceptable values for the studied ore grade for the six defined cutoff grades of 0.1%, 0.15%, 0.2%, 0.25%, 0.3% and 0.35% and also, accumulation threshold corresponding to the minimum acceptable values of grade multiplied by the minimum core length (0.1 m) was defined to be 0.01, 0.015, 0.02, 0.025, 0.03 and 0.035(m%), respectively.

Results

The ore reserve calculated by 2D GT method shows that the software output is slightly different from that of other techniques. This method calculates the net ore reserve for three categories of "measured", "indicated" and "inferred" categories. In this algorithm, reserve calculations for the study area has not assigned any values for the "inferred" reserve category. Moreover, no reserve has been calculated for the "indicated" category by increasing the cutoff grade value. In other words, there is no reserve in the "inferred" category for the various cutoff grades. There is no reserve even in the "indicated" category for the upper limits cutoff grade. This indicates the sensitivity of the applied algorithm to the degree of reliability of the reserve. Assay data modeling and ore reserve estimation using the variety of methods that exist in Rockworks for 6 cutoff grades of 1000, 1500, 2000, 2500, 3000 and 3500ppm show that in some cases the results of various methods are very different. In general, blocking through I-Data menu

and 2-D accumulation (2D GT) methods are more accurate than the others available in Rockworks to estimate the ore reserve of the study area. Overall, reserve value was calculated about 500000 tonnes with an average grade of 0.8% for cutoff grade of 0.1% (1000ppm) by averaging the ore reserve and average grade of the deposit and using conventional ore reserve estimation methods.

Discussion

The findings of the current investigation confirm that the feasibility of achieving reasonable, valid, and reliable results using a specialized software is highly dependent on the knowledge and experience of the user and the high degree of validity of results is only obtained by the choice of appropriate modeling methods as well as selecting suitable parameters.

The results of this research study especially how to select parameters in different parts of the software can be generalized for modeling other metallic deposits similar to the study area. However, validation of modeling operation and the produced models are highly dependent on the type and amount of available exploration information.

References

- Erickson, Jr.A.J., 1992. Geological interpretation, modeling and representation. In: H. Hartman (Editor), SME Mining Engineering Handbook. SME-AIME, New York, pp. 333–343.
- Remy, N., Boucher, A. and Wu, J., 2009. Applied Geostatistics with SGeMS: A User's Guide. Cambridge University Press, New York, 284 pp.